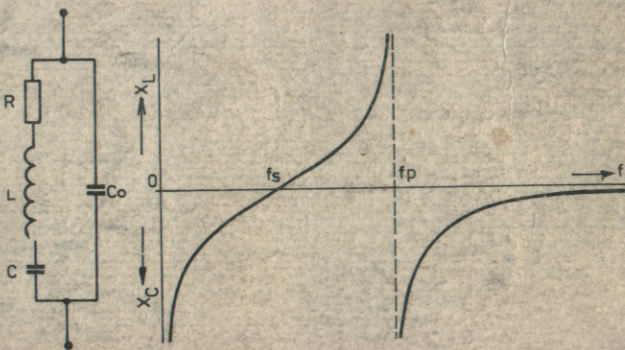


PŘEDNÁŠKY Z AMATÉRSKÉ RADIOTECHNIKY



Petr Novák

OBVODOVÁ TECHNIKA
KMITOČTOVÉ MODULACE

I. díl

ÚV SVAZU PRO SPOLUPRÁCI S ARMÁDOU

PŘEDNÁŠKY Z AMATÉRSKÉ RADIOTECHNIKY

Petr Novák OK1WPN

OBVODOVÁ TECHNIKA KMITOČTOVÉ MODULACE I.

ÚV SVAZU PRO SPOLUPRÁCI S ARMÁDOU

OBSAH

Úvodem	7
1. Krystaly v radioamatérské praxi	8
1.1 Základní vlastnosti krystalů	8
1.2 Úprava kmitočtu krystalů	15
1.3 Změna kmitočtu krystalů vnějšími obvodovými prvky . .	22
2. Řídící oscilátory s kmitočtové ustředny	36
2.1 Rozložované krystalové oscilátory	39
2.2 Plynule laditelné oscilátory LC - VFO	49
2.3 Násobiče kmitočtu	54
2.4 Oscilátory LC na vysokém kmitočtu	60
2.5 Směšovací syntezátory kmitočtu /VFX/	70
2.6 Kmitočtové syntezátory s fázovým závěsem	71
3. Modulátory FM, modulační zesilovače	95
3.1 Základní požadavky, linearita	95
3.2 Využití VCXO pro generování signálu FM	96
3.3 Modulační zesilovače	100
Závěrem	112

ÚVODEM

Tato publikace navazuje na předchozí práci "Zapojení FM techniky", která vyšla v edici PZAR v roce 1984.

V následujícím výkladu se probírají především vlastnosti základních obvodových prvků /krystalů, filtrů/ a zapojení obvodů pro generování kmitočtů, jejich kmitočtovou modulaci a tím i vytváření žádaného signálu FM.

Díky snaze technické komise rady radioamatérství ČÚV Slezarmu a edičního odboru ÚV Slezarmu ČSSR bylo umožněno předat touto cestou slezarmovským technikům a konstruktérům ucelený soubor informací a návodů, původně pojatý autorem jako samostatná publikace o kmitočtové modulaci, která se tímto způsobem dostává ke čtenáři po jednotlivých dílech. Bude uspokojením autora i lektora, poslouží-li práce k dalšímu rozvoji této techniky.

1. KRYSTALY V RADIOAMATÉRSKÉ PRAXI

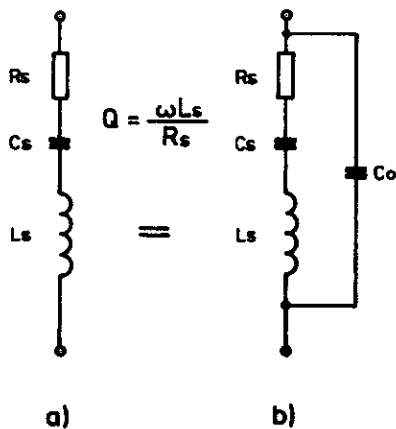
Význam krystalů /křemenných rezonátorů nebo též piezoelektrických krystalových jednotek - PKJ/ je pro jakoukoli oblast sdělovací techniky nesporný. V technice kmitočtové modulace jsou používány ve zdrojích řídících kmitočtů radiostanic, ve filtroch soustředěné selektivity a často i při demodulaci signálu FM.

1.1 ZÁKLADNÍ VLASTNOSTI KRYSTALŮ

Moderní krystal je destička kruhového či obdélníkového tvaru, vyříznutá a vybroušená z křemenného krystalu /tzv. křemenný výbrus/. Rovina řezu je v určitém stanoveném úhlu orientována ke krystalografickým osám. Podle roviny řezu označujeme jednotlivé typy kódem AT, BT, NT, CT, DT atd. Radioamatér vysílač se těžko setká s jinými typy než AT, zřídka BT a jen velmi málo CT a dalšími, které jsou určeny pro nižší kmitočty. V oblasti kmitočtů nad 1 MHz jednoznačně převládá řez AT. Je to v dnešní době vždy kruhová destička s vakuově nepářenými stříbrnými polepy - elektrodami.

Krystal je vlastně sériový ladičný obvod - viz náhradní zapojení na obr.1. Navíc má paralelně k vývodům připojenou kapacitu C_0 , což je vlastně kapacita elektrod proti sobě. Hodnotu tohoto prvku náhradního schématu lze snadno změřit na můstku či měřicí kapacit. Obyčejně bývá v rozmezí 5 až 10 pF. Na obr.1 je též

uváděn vztah pro jakost Q sériového rezonančního obvodu. Na rozdíl od obvodu tvořeného kondenzátorem a cívkou má krystal při stejném rezonančním kmitočtu mnohonásobně vyšší hodnotu L_s /řádově 10 mH až 1 H/. Tomu podle Thompsonova vzorce /samořejmě



a)

b)

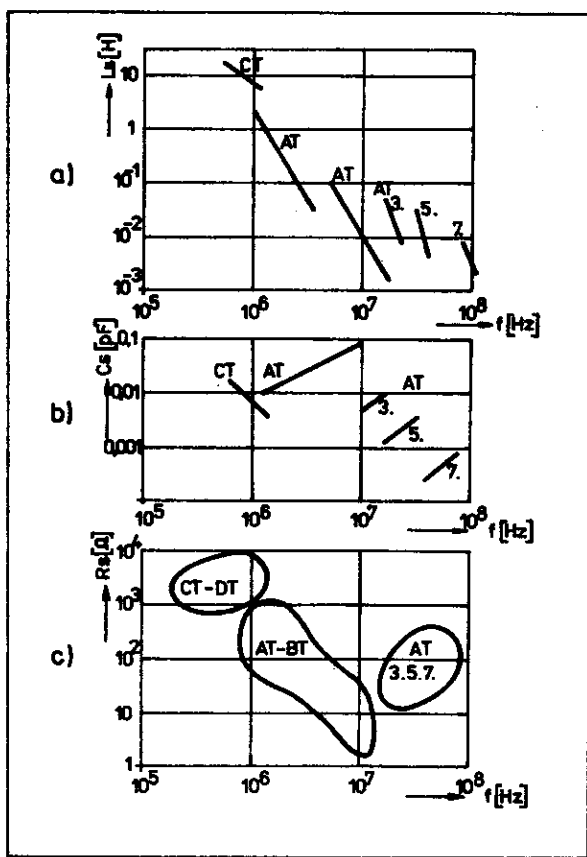
a) náhradní sériový obvod
b) doplněný o kapacitu držáku

Obr.1. Náhradní zapojení krystalu

při stejném uvažovaném kmitočtu/ odpovídá úměrné snížení sériové kapacity C_s /zhruba 0,01 až 0,1 pF/. Ztrátový sériový odpor R_s je v rozsahu zhruba 10 až 100 ohmů. Dosadíme-li tyto hodnoty do vztahu pro Q, dostaneme "astronomické" hodnoty řádově od $1 \cdot 10^4$ po 10^6 , což je jakost, která je zcela nedosažitelná nejen obvody LC, ale i dutinovými rezonátory.

Amatér si samořejmě prvky náhradního schématu jen těžko může změřit, nezbývá tedy než alespoň přibližný odhad. K němu

slouží grafické znázornění na obr.2, což je vlastně souhrn orientačních výsledků z měření na velkém počtu krystalů. Znázorněny



Obr.2. Orientační hodnoty náhradního obvodu krystalu

jsou pouze typy AT, typ CT /např. kalibrační krystel 1 MHz/ je doplněn pouze pro úplnost. Všechny uvedené typy bez výjimky

kmitají tloušťkově střížnými kmity. Z obr.2 je zřejmé, že hodnoty L_s a C_s mají poměrně minimální rozptyl. V podstatě jsou dány řezem, kmitočtem a mechanickými rozměry výbrusu. Zájemce najde tyto závislosti vyjádřené pomocí konstant například v knize ing. J. Vackáře "Vysílače I".

Naproti tomu značný rozptyl má sériový ztrátový odpor R_s . Je ovlivněn nejen kvalitou pro výbrus použitého křemenného krystalu a jeho hmotnosti, ale i provedením elektrod. S hmotností elektrod ztrátový odpor stoupá a výsledkem je mimo pokles kmitočtu též pokles Q a aktivity krystalu. Tento jev je z amatérské praxe znám při intenzivním jódování elektrod krytalů.

Velký vliv na sériový odpor R_s má i provedení držáku, včetně pouzdra. Samozřejmě nejlepší jsou skleněná vakuovaná pouzdra, kdy má krystal nejmenší tlumení /rozumí se tlumení vzduchovým polštářem/. Ale i hermetické kovové držáky mají svůj význam, neboť chrání krystal před dlouhodobým působením ovzduší. Jak známo, sínré produkty, v atmosféře bohužel často silně zastoupené, mají vesměs snahu se ochotně slučovat právě se stříbrnými elektrodami. Norma doporučuje následující typy držáků /jsou vybrány ty, se kterými se amatér nejspíše setká - obr.3/:

KK 2/19 - kovový hermetický držák, snadno se otevírá. Držák upneme na nožičky do stolního svěráčku. Po dostatečném nahřátí po celém obvodu základny opatrně sejmeme plochými kleštěmi klobouček tak, abychom se nedotkli výbrusu.

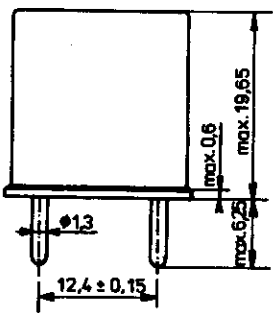
KD 2/13 - miniaturizovaná obdobec předešlého. Stejný postup.

SD 4/24-9 - skleněný držák, známé baňky průměru 10 mm. Nelze otevírat bez sklářské dovednosti.

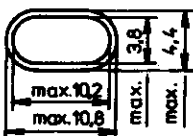
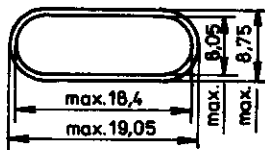
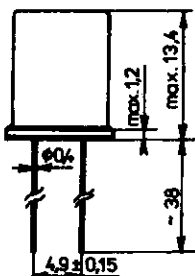
S krytaly v pouzdru KK 2/19 se setkáme v radiostanicích Ra-

cek, Boubín. Pouzdro KD 2/13 je v současné době nejrozšířenější. Jsou do něho vkládány krystaly pro modelářské soupravy dálkového ovládání modelů, setkáme se s ním i v některých radiostanicích

DRŽÁK
KK 2/19



DRŽÁK
KD 2/13



Obr.J. Kovové držáky krystalů

Tesla. Z krystalů v tomto pouzdře jsou skládány i filtry PKF 10,7/15A a PKF 9 MHz.

V poslední době používá Tesla všeobecně nové pouzdro SD 2/13, které tvarem i rozměry připomíná KD 2/13, je ale skleněné a tím i méně vhodné pro amatérské zásahy.

Mezí amatéry se dále často vyskytují krystaly z radiostanic RM31, RO21 apod. Souhrnně říci, že jsou o něco méně kva-

litní než nová řada krystalů, např. typy A... mají poněkud menší aktivitu. Určitou nestabilitu vnáší i základna z bakelitu, proto při jejich montáži, např. do filtrů, používáme raději nízkotavitelnou pájku. Tu nebudeme pracně slévat, ale zakoupíme v kuchyňských potřebách několik tepelných pojistek do tlakových hrnců. Pracuje se s nimi obdobně jako s normální cínovou pájkou, k dostatečnému prohřátí postačí minipáječka.

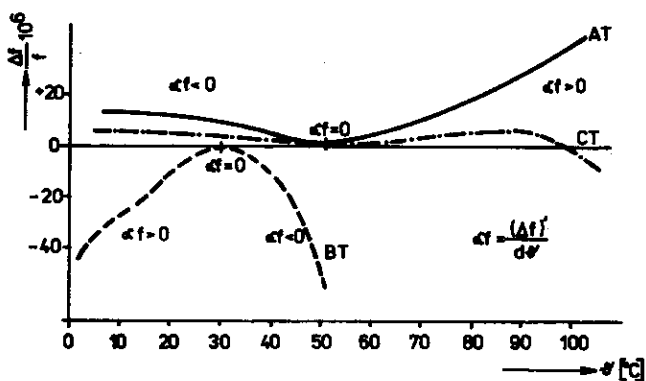
Krystaly typu RM31 otvíráme tak, že je upneme do stolního svěráčku za klobouček základnou v rovině čelistí. Malým šroubováčkem potom otehneme /odpáčíme/ zahnuté okraje kloboučku, až se základna zcela uvolní; snažíme se přitom nepoškodit těsnici vložku. Po povolení svěráčku by měl jít krystal i se základnou lehce vyjmout. Stejně tak ve svěráku krystal uzavíráme. Svěrák je nutný z toho důvodu, že při práci pouze v ruce nám zaručeně šroubovák vjede buď do ruky nebo do krystalu, popřípadě krystal upadne na zem. Výsledný efekt je vesměs negativní.

Ať už jsou názory na kvalitu krystalů typu RM31 jakékoli, je jisté, že se budou ještě dlouho používat a mnohokrát nám dobré poslouží.

Tolik o mechanické konstrukci držáků. Závěrem, protože to vlastně k mechanice patří, je nutno zdůraznit, že pouzdra krystalů zásadně nesavrťáváme /ať už za účelem foukání jódu či jiným/.

Teplotní vlivy ovlivňují fyzikální vlastnosti krystalu, tedy především vlastní rozměry výbrusu, ale i držáku či elektrod. Tím se mění i jmenovitý kmitočet. Průběh teplotního součinitele v závislosti na teplotě závisí především na řezu výbrusu, násobně tuto závislost ukazuje obr.4.

Řez AT má průběh teplotního součinitele ve tvaru kubické parabolky $y = x^3$, BT kvadratický průběh $y = x^2$, CT a GT opět kubický s velmi malým teplotním součinitelem v širokém rozsahu. Právě řezy CT a GT jsou proto označovány jako "normálové". Typickou vlastností AT řezu, se kterým se amatér nejvíce setkává,



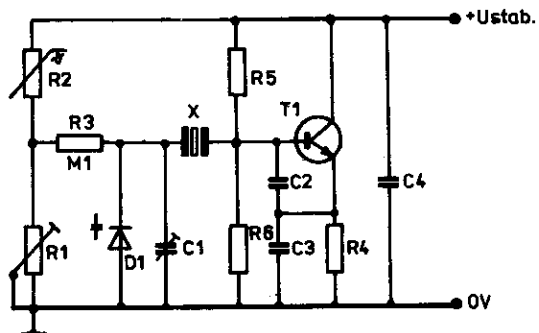
Obr.4. Průběhy teplotních součinitelů řezů AT, BT a CT

je vrchol /inflexe/ parabolky v okoli $55^\circ C$, proto se ponejvíce termostaty vytápějí právě na tuto teplotu. Přesto však výrobce vhodnou technologií může vyrábět krystaly, u kterých je v určitém rozmezí průběh tepelného činitele ne sice nulový, ale konstantní v zaručovaném rozsahu. To platí zejména pro teplotu $20^\circ C$, pro kterou jsou vyráběny krystaly do radiostanic a filtrů, kde by použití termostatu bylo jistě velmi problematické.

Protože není účelem této kapitoly zabývat se krystaly z hlediska dlouhodobé kmitočtové stability, pomineme termostaty jakožto věc pro amatérská zařízení nevhodnou po stránce energetické i rozměrové. Přesto však je nutné se alespoň zmínit o

teplotní kompenzaci pomocí termistoru a varikapu, která se dosud v amatérské technice příliš nerozšířila.

Princip je na obr.5. Teplotně závislý dělič napětí /termistor s rezistorem R1/ řídí varikap, doladující krystal v opečném smyslu teplotní závislosti. Podmínkou je stabilizované napětí a dokonalá teplotní vazba všech součástek oscilátoru, majících



Obr.5. Teplotní kompenzace kmitočtu krystalu termistorem

vliv na kmitočet; tzn. i stabilizátoru napájecího napěti. Nutnost umístění do silnostěnného boxu z hliníku není jistě třeba zdůrazňovat. Praktické výsledky odpovídají středně kvalitnímu termostatu, spotřeba energie je však nepatrná.

1.2 ÚPRAVA KMITOČTU KRYSTALŮ

Je samozřejmé, že jakékoli zásahy do krystalu se snahou změnit jeho kmitočet mohou nepříznivě ovlivnit další vlastnosti, zejména jakost Q /tedy i aktivitu/ a dlouhodobou stabilitu. Amatér je oproti profesionálnímu konstruktérovi v nevýhodě,

protože zpravidla pracuje s výprodejními krystaly, často staršího typu. Metod, jak upravovat kmitočet krytalů, byla již publikována celá řada, jde o to vybrat z nich ty nejosvědčenější.

Kmitočet krystalu můžeme trvale změnit v jistých mezích působením na jeho fyzikální vlastnosti. Pomineme prehistorické metody jako používání karborundových broušek apod. U dnešního krystalu nemáme stejně jinou možnost než působit na stříbrné elektrody. Jak již bylo řečeno, zvětšováním hmoty elektrod kmitočet klesá, protože se zvyšuje i celková hmotnost krystalu. Naopak při ubírání hmoty elektrod kmitočet stoupá.

Elektricky tyto děje znamenají, že při nanášení hmoty elektrod se zvětšuje i sériový ztrátový odpor a tím klesá jakost Q a aktivity, částečně se zhorší i stabilita /viz náhradní schéma/. Evidentně při ubírání elektrod můžeme očekávat zvýšení Q a aktivity. Hmotnost elektrod má tedy vliv na tlumení krystalu.

Předem několik zásad. Veškeré zásahy provádíme na zcela otevřeném krystalu, proto

- na elektrody musíme vidět /žádné navrtávání dírek/
- na krytal se nesahá ani prsty, ani mechanickými nástroji
- zásahy provádíme v tom zapojení, ve kterém má krytal pracovat, tedy třeba v daném přístroji.

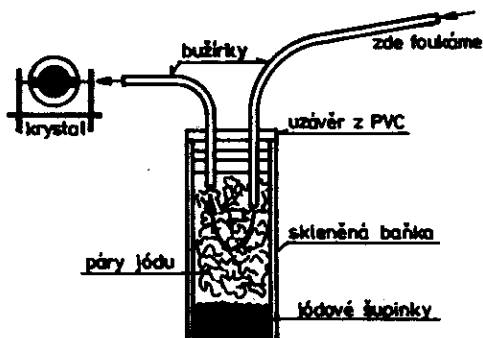
Podle relativní změny kmitočtu použijeme příslušnou metodu, pokud možno výhředně chemickou.

Malé změny kmitočtu: Uvažujeme zde změnu kmitočtu do 0,2 pro milo, tj. asi 2 kHz na kmitočtech řádově 10 MHz.

Snižování kmitočtu v malých mezích se dosud nejvíce provádí jódováním. Používáme zásadně krystalický jód, žádnou tinkturu. Jódové páry nanášíme na krytal foukáním, proto si z lékovky

nebo skumavky zhotovíme podle obr.6 jódovačku. Jemným fouknutím naneseme část jódových par na elektrodu krystalu, přitom pozorně sledujeme čítač, abychom zbytečně "nepřejeli". Pro odpařování jódu stačí zahřívání lékovky v ruce. Zásadně nespěcháme, kmitočet krystalu se částečně "vraci".

Po hodinové přestávce, po kterou necháme krystal kmitat, provedeme poslední jemnou korekci s pomocí elektrického vysoušeče



Obr.6. Jódovačka

vlasů několik teplotních cyklů ofukováním střídavě teplým a studeným vzduchem. Je nutno počítat s vlivem krytu, u zmíněných krystalů okolo 10 MHz snižuje kovový kryt kmitočet asi o 100 až 200 Hz, při uzemnění krytu 300 až 400 Hz. Po ukončení práce nezapomeňte nikdy jódovačku hermeticky dokonale uzavřít, nejlépe do skleničky od dětské výživy /jistě si dovedete snadno představit, co udělá sublimující jód v pracovním stole .../. Kmitočet ještě jednou kontrolujeme druhý den po 24 hodinách, potom lze krystal uzavřít, znova skontrolovat a doufaj, že se vše zdáilo.

Ne jód působí vlivy tepla a světla, nelze ho proto používat u relativně větších změn a už vůbec ne foukáním přes dírky. Ve- lice názorně to dokazují staré krystaly z RM31, které byly již při výrobě zásadně jódovány /proto též různorodá kvalita/. Vy-brat z nich několik shodných je velmi obtížné i z většího počtu kusů. Každý krystal dlouhodobě stárne, jódovaný obzvlášť. O sta-bilnější metodě, elektrochemickém nanášení stříbra, se zmíníme později.

Zvyšování kmitočtu v malých mezích je jedinou mechanickou metodou, kterou lze připustit. Dříve se k tomuto účelu používa-lo tvrdé gumy nebo i žiletky. Při gumování krystal občas praskl nebo se zašpinil, žiletkou není problém udělat do elektrody rý-hu. Nejlepší a doslova profesionální metodou je použití štěteč-ku ze skleněných vláken. Dříve byl vzácný, dnes lze v každém pa-pírnictví zakoupit "škrabátko na tuš". Používá se tak, že při vyvinutí minimálního tlaku jemně oprášujeme obě elektrody krys-talu rovnoměrně po celé ploše, za současného sledování posunu kmitočtu a kolektorového proudu příslušného oscilátoru. Kolek-torový proud je ostatně vhodné sledovat při jakékoli manipulaci s krystaly, jeho změny jsou úměrné změnám aktivity a tedy i sou-činiteli jakosti Q.

Větší změny kmitočtu: Požadujeme-li větší trvalou změnu kmi-točtu /až 0,5 %/, dřífi se nám lépe směrem k vyšším kmitočtům. Důvod je jasný - ubírání hmoty elektrod jakost Q i aktivita spíše vzdástá. Stříbra je na elektrodách poměrně hodně /svlaště u typu RM31/ a ze předpokladu rovnoměrného ubírání stříbrné vrstvy je horní hranicí stav, kdy jsou elektrody již vlastně průsvitné, ale ještě vodivé. Nevhodou všech těchto metod je

nemožnost současného sledování kmitočtu a tedy nutnost jistého odhadu, který lze získat jen cvikem.

Chemická metoda se vlastně podobá procesům při fotografii. Za tím účelem zakoupíme ustalovač UN201 /zelený/ a připravíme asi 30 % roztok thiosíranu - to je ta větší polovina sáčku, tedy krystalický sírnatý sodný.

Krystal ponoříme do roztoku a sledujeme, jak jódová vrstva mizí. V roztoku se rozpouští jak povrchová vrstva jódu, tak i jodid stříbrný, ba i částečně stříbro, ale to velmi pomalu. Ostatně fotoamatérů znají velmi dobře, jak umí ustalovač vybělit fotopapír, zapomenutý na dně misky. Skutečnost, že ve fotografii jde o jiný halový prvek - brom, na věci nic nemění. Pro krystaly rádově 10 MHz můžeme při tomto prvním kroku počítat se změnou asi 20 kHz, záleží samozřejmě na koncentraci roztoku. Další postup je opět stejný jako ve fotografii - důkladné praní pod tekoucí vodou po dobu 5 minut a posléze rádné vysušení pomocí elektrického vysoušeče vlasů.

Následuje kontrola kmitočtu a kolektorového proudu v daném oscilátoru. Je-li dosažená změna nedostatečná, je nutno krystal znova najódovat pomocí jódovačky a celý postup opakovat. Jódujeme pravidelně po celé ploše elektrod, přívodním páskům se vynahneme. Rovnoměrné nanášení jódu lze odhadnout podle změny barvy nanesené vrstvy. Vytvořená vrstva i z částí sloučeného stříbra se opět smyje v roztoku atd., postup lze opakovat až do úplného zmízení polepů a tím i znehodnocení krystalu. Lze dosáhnout změny asi 200 kHz pro krystaly kolem 10 MHz.

Popsaná metoda je poměrně účinná a pro krystaly bezpečná, pro větší požadované změny však přesto pomalá. Zde se nabízí

použít metodu elektrochemickou. Jde vlastně o galvanické odlep-távání nebo leštění. Krystal se nejdříve zlaví povrchové vrstvy chemickou metodou popsanou výše v koncentrovanějším roztoku thiosíranu. Tím dosáhneme naprostě čistých elektrod. Nyní si připravíme slabý roztok /asi 3 krystalky thiosíranu na 1 dcl vody/, spojíme obě elektrody krystalu. Na elektrody připojíme kladný pól baterie, záporný přes miliampérmetr na versatilku, jejíž tuhu používáme větším či menším ponovením do roztoku je-ko proměnný odpor. Volíme raději menší proud do 5 mA, který nám spolu s malou koncentrací zaručí rovnoměrnost leptání. Přesto je leptání poměrně rychlé, až 50 MHz za 1 minutu. Proto, než získáme praxi, je lépe postupovat po krátkých časových interva-lech. Následuje důkladné praní a sušení jako u čistě chemické metody.

V souvislosti s elektrochemickým odleptáváním byl zkoušen i opačný postup, tj. galvanické nanášení stříbra. Je to možné, pokud se smíříme s tím, že kmitočet směrem dolů nelze posunout v tak velkých mezích; klesá jakost Q i aktivita. To platí ostat-ně i o jódování; nanášení stříbra má však výhodu ve větší stá-losti nanesené vrstvy. Jako nevýhodné se ukázalo použití sta-rého ustalovače; vyloučené stříbro bývá černé a nestabilní. Po-kud se chceme vyhnout použití jedovatých kyanidových lásní, jde to nejlépe ve slabém roztoku dusičnanu stříbrného /lapis/. Kryst-al připojíme na záporný pól, jako kladný pól /anodu/ použijeme stříbrný drátek. Dusičnan rozpustíme raději v destilované vodě, proudovou hustotu volíme opět malou. Předpokladem úspěchu je čistý povrch elektrod, které před operací zlavíme povrchové

vrstvy opět v rostoku thiosírenu, řádně vypereme a ještě za mokra vložíme do dusičnanu.

Tolik tedy o alchymii v oboru krystalů. Jisté je, že popsané postupy rozšířují naše možnosti co do výběru potřebných krystalů, kterých mezi amatéry nebude nikdy dost. Na rozdíl od mechanických metod jde o způsoby pro krystal bezpečné a stabilní.

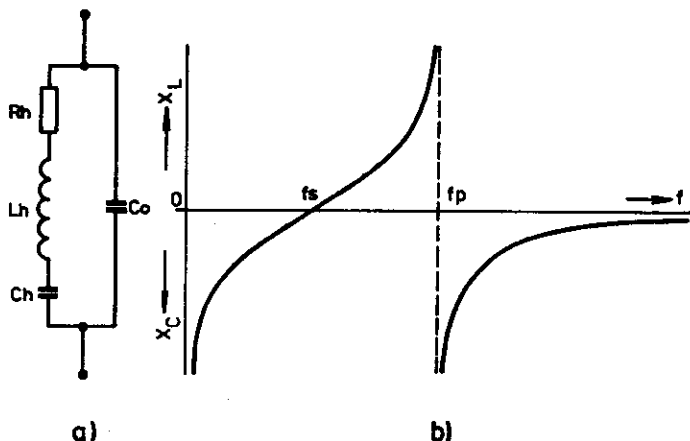
Na závěr alespoň zmínku o poměrně mladé metodě zvyšování kmitočtu krystalů pomocí koronárního výboje, což je způsob používaný v profesionální praxi. Přiblížením vodiče se střídavým vysokým napětím /nejlépe vyššího kmitočtu/ ke krystalu vzniká na povrchu elektrod koronární výboj, postupně odnášející jednotlivé ionty stříbra. V amatérských podmírkách je nejpříhodnější a také nejbezpečnější použít zdroje vysokého napětí z černobílého televizoru /asi 18 kV/. Volíme takové zapojení skušebního oscilátoru, při kterém je jedna elektroda krystalu uzemněna /Clapp, Pierce/. Oscilátor byl sice vyzkoušen s tranzistory /dokonce i unipolárními J-FET/, přesto však vzhledem k bezprostřední blízkosti vysokého napětí by byla možná vhodnější elektronková verze. Z tranzistorových zapojení lze doporučit oscilátory, které budou uvedeny v další kapitole na obr.16 a 17. Kondenzátory zapojené v sérii s kryatem musí být dimenzovány na co nejvyšší napětí, protože oddělují aktivní prvek od obvodu vn. Uzměrnovač vn z televizoru vyjmeme, napětí vytvářející konduktoru musí být střídavé.

Výhodou popsané metody je možnost přímého sledování změny kmitočtu krystalu čítačem připojeným na výstup oscilátoru. Kmitočet krystalu stoupá poměrně zvolna, takže jej lze nastavit s dostatečnou přesností.

Nejdůležitější pro amatérskou praxi je však skutečnost, že pomocí koronárního výboje lze upravovat kmitočet krystalů ve skleněných pouzdrech bez nutnosti jejich otvírání. V případě častějšího používání se vyplatí zhotovit si jednoúčelový přípravek. Použijeme vn transformátor z vyřazeného televizního přijímače /vlastně modernizovaný Teslův transformátor/ s příslušným spinacím tranzistorem a budícím obvodem.

1.3 ZMĚNA KMITOČTU KRYSTALŮ VNĚJŠÍMI OBVODOVÝMI PRVKY

Na kmitočet krystalového oscilátoru lze v jistých malých mězích působit změnou reaktance v obvodu krystalu. Předem je nutno osvětlit si některé další pojmy. Náhradní schéma /viz obr.1/ si znázorníme v obvyklejším vyjádření na obr.7a/. Protože krystal má obvykle více rezonancí, hovoříme obecně o h-té vlastní



Obr.7a/ Náhradní obvod pro h-tou vlastní rezonanci

Tb/ Průběh reaktance v okolí h-té vlastní rezonance

rezonanci - to má význam především pro harmonické výbrusy. Průběh reaktance je obecně na obr.7b/. Vidíme, že na ose kmitočtu jsou vyjádřeny dva význačné body: f_s - tj. sériová rezonance a f_p - páralelní rezonance. Přitom sériová rezonance je vždy kmitočtově nižší než paralelní. Rozdíl těchto kmitočtů si můžeme představit tak, že při sériové rezonanci uvažujeme pouze sériový obvod L_h , C_h , R_h . Při paralelní rezonanci uvažujeme i vliv kapacity elektrod a držáku C_o , která je pak vlastně zapojena v sérii s C_h , tím zmenšuje celkovou kapacitu obvodu a důsledkem je poněkud vyšší páralelní rezonance f_p . Z této skutečnosti vyplývá i závěr, že kmitočet harmonického krystalu není zcela přesným násobkem základního kmitočtu, často publikovaný bez dalšího vysvětlení. Pro vyšší kmitočty bude mít totiž kapacita C_o reaktanci podstatně odlišnou. Z výše uvedeného vyplývají dva základní vztahy:

$$\text{sériová rezonance} \quad f_s = \frac{1}{2\pi\sqrt{L_h \cdot C_h}}$$

$$\text{paralelní rezonance} \quad f_p = \frac{1}{2\pi\sqrt{L_h \cdot \frac{C_h \cdot C_o}{C_h + C_o}}}$$

kde výraz $\frac{C_h \cdot C_o}{C_h + C_o}$ je evidentně sériovou kombinací kapacit C_h a C_o .

Pro úplnost zopakujeme vztah pro činitel jakosti

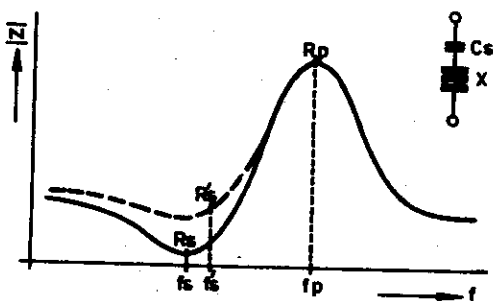
$$C_h = \frac{2\pi f_s L_h}{R_h}$$

Z reaktančního průběhu na obr.7b/ si můžeme znázornit závislost absolutní hodnoty impedance $|Z|$ na kmitočtu /viz obr.8/. Odpor

R_s při sériové rezonanci má velmi malou hodnotu

$$R_s = \frac{2\pi f_s L}{Q}$$

Protože se nyní zaměříme na krystaly pracující na svém základním kmitočtu, označování indexem "h" nebudeme až na další



Obr.8. Vliv sériového kondenzátoru C_s

používat. Přidáním sériového kondenzátoru C_s /přičtením jeho reaktance/ se zvětší sériový odpor složeného obvodu na R'_s ; kmitočet f_s na f'_s . Protože ostatní prvky /L/ nahradního schématu se nemění, musí se částečně změnit Q. Zapojením sériového kondenzátoru zvyšujeme tedy kmitočet f_s krystalu.

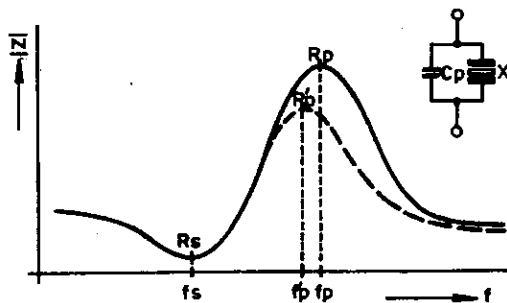
Stejně či obdobně můžeme tedy podle reaktančního průběhu z obr.7b/ vyšetřit chování krystalu v oblasti paralelní rezonance na obr.9. Odpor R_p při paralelní rezonanci má velmi vysokou hodnotu

$$R_p = 2\pi f_p L Q$$

Přidáním kondenzátoru C_p /paralelní spojení reaktancí/ zmen-

ší se R_p na R'_p . Kmitočet f_p se sníží na f'_p a opět částečně poklesne Q.

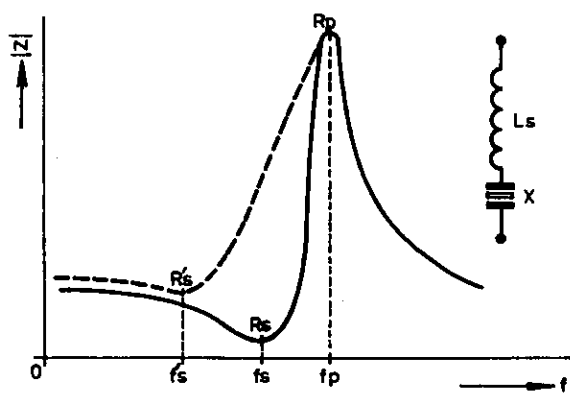
Shrneme-li oba tyto případy, lze říci, že velikost doladění Δf je u sériového kondenzátoru omezena jeho nejmenší kapacitou C'_s a u paralelního jeho největší kapacitou C'_p , kterou lze s ohledem na pokles činitele jakosti Q připustit.



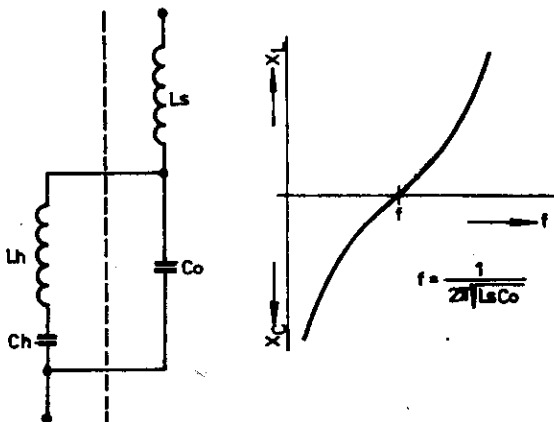
Obr.9. Vliv paralelního kondenzátoru C_p

Výše uvedené vlivy jsou všeobecně známé a mnohokrát popsáné v odborné literatuře. Z hlediska impedančního průběhu však popisují chování krystalu pouze v úzké kmitočtové oblasti mezi f_s a f_p , kde má reaktance kladný průběh. Strmost křivky $|Z|$ je v této oblasti též značná, v každém případě mimo možnost rozumného grafického znázornění.

Dále se budeme zabývat oblastí kmitočtů nižších než f_s , kde má reaktance záporný, kapacitní charakter. V této oblasti má i průběh $|Z|$ menší strmost a tedy i změny Q budou menší při větším dosažitelném přeladění Δf . Princip znázorňuje obr.10. Sčítají se dvě induktivní kladné reaktance, X_Q a X_L . Transformace sériového odporu R_s na R'_s je obdobná jako v předešlých případech.



Obr.10. Vliv sériové indukčnosti L_s



Obr.11. Náhradní obvod s L_s - dva sériové obvody

zech, s tím, že rozdíl $f_s - f'_s$ je větší. Můžeme si to znázornit též jinak /viz obr.11/. Připojením sériové indukčnosti ke krystalu vznikly vlastně dva sériové laděné obvody $L_h C_h$ a $L_s C_o$.

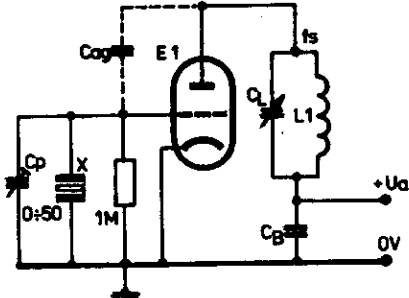
Ovlivňování kmitočtu krystalu nastane, teprve když bude obvod $L_s C_o$ naladěn na kmitočet nižší než je sériová rezonance krystalu, tedy do záporné oblasti reaktance. Z toto je možno stanovit podmínu minimální indukčnosti sériové cívky L_s

$$L_{\min} = \frac{1}{\frac{1}{2} \omega_s C_o}$$

V praxi postupujeme tak, že indukčnost volíme ještě o něco větší, dokud nedojde k podstatnému zhoršení Q /počátek vysazování zkušebního oscilátoru/. Velký vliv zde má i nastavení optimálního pracovního bodu a zpětné vazby. Cívka má mít pokud možno maximální Q, malou vlastní kapacitu, dále je nutno omezit přídavné parazitní montážní kapacity na minimum. Ledit můžeme samozřejmě cívkou, ale spíše to lze provést sériovým otočným kondenzátorem, který vlastně zmenšuje kapacitu C_o pomocného okruhu. Protože jsme již uvedli, že kapacita C_o běžných krystalů je asi 5 až 10 pF, je požadavek minimální počáteční kapacita ladícího kondenzátoru evidentní a proto se přes nevýhody menšího činitele jakosti Q setkáme spíše s varikapem.

Celý princip pak nazýváme "taháním kmitočtu"; celkem oprávněně, protože přídavný sériový obvod $L_s C_o$ skutečně nutí krystal pracovat na nižším kmitočtu. Cívku L_s nazýváme fázovací cívka - toto označení opět odpovídá skutečnosti, protože při znázornění vektorů v komplexní rovině jde vlastně o natáčení vektoru kladné reaktanční složky /induktivní/ a její vektorový součet s danou reaktancí krystalu pro kmitočty nižší než f_s .

Pomocí obr.11 jeme si tedy vysvětlili chování krystalu pro kmitočty nižší než f_s , dále v intervalu $f_s - f_p$ při doleďování shora i zdola. Zbývá popsat doleďování v oblasti kmitočtů vyšších než f_p , což je prevou lahůdkou z praktického hlediska, neboť jde o exkurzi do dávné radioamatérské historie. Zapojení bylo používáno v elektronkové éře /jako vůbec všechna zapojení využívající paralelní rezonance krystalu byla typická pro elektronky, neboť předpokládají vysoké vstupní impedance/ a označováno jako TPTG /tuned plate-tuned grid, tj. laděná anoda - laděná mřížka/. Elektronkové éře dodnes zůstalo poplatné označování krystalů, neboť kmitočet na nich uvedený platí pro paralelní rezonanci s předepsanou pracovní kapacitou 20 nebo 50 pF. V případě sériové rezonance je tato výslovňě uváděna.

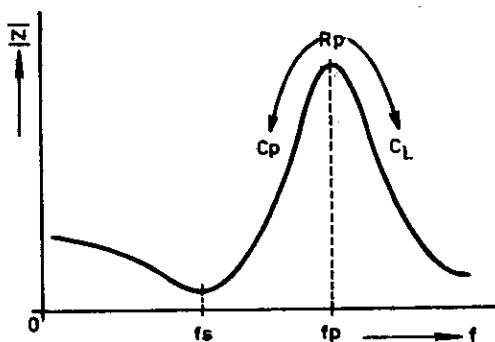


Obr.12. Oscilátor TPTG

Zapojení TPTG je v původní podobě na obr.12. Používaly se zásadně triody, protože v podstatě šlo o Millerův oscilátor doplněný laděným okruhem v anodě. Tento typ oscilátoru ke své funkci předpokládá určitou velikost vnitřní kapacity C_{eg} /Millerova

kapacita/, typickou pro triody. V případě pentod se tato kapacita musela doplňovat vně elektronky jako přídavná a v oscilátoru TPTG působila jako vazební prvek, přes který byl krystal "tahán" laděním výstupního obvodu. Rozumí se samozřejmě, že výstupní obvod pracoval na jmenovitém kmitočtu krystalu.

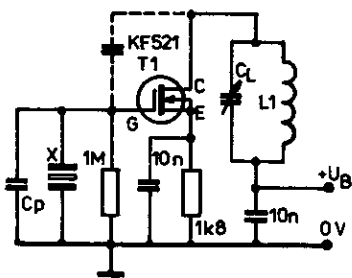
Princip, analogický obr.9, je na obr.13. Ladění od paralelní rezonance dolů se provádělo paralelním kapacitním trimrem ke



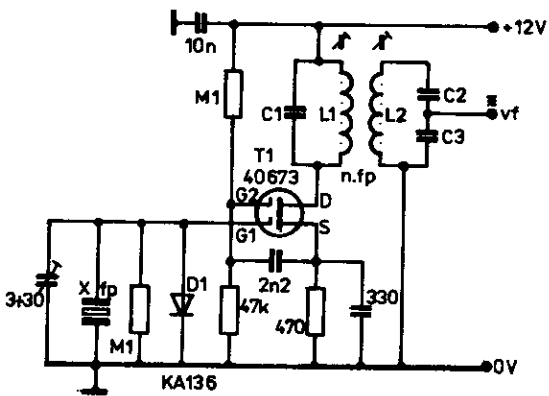
Obr.13. Ladění krystalu v oscilátoru TPTG

krystalu, ladění nahoru zmenšováním kondenzátoru C_L , tedy pře-ladováním anodového obvodu k vyšším kmitočtům. Ladění mělo svůj charakteristický průběh - se zmenšováním kapacity C_L kmitočet stoupal, až v určitém bodě došlo k "utržení" krystalu ze synchronizace a k novému nasazení kmitů bylo nutno se kondenzátorem C_L vrátit daleko zpět na kmitočet paralelní rezonance f_p . To ostatně platí i pro "fázovací cívku" z obr.10.

Pro ty, kteří s trochou nostalgie vzpomenou nyní zašlých dob elektronkové slávy, uvádíme jako odškodnění zapojení na obr.14. Zapojení TPTG využívá tranzistoru řízeného polem; lze



Obr.14. Obdoba zapojení TPTG
s unipolárním tranzistorem

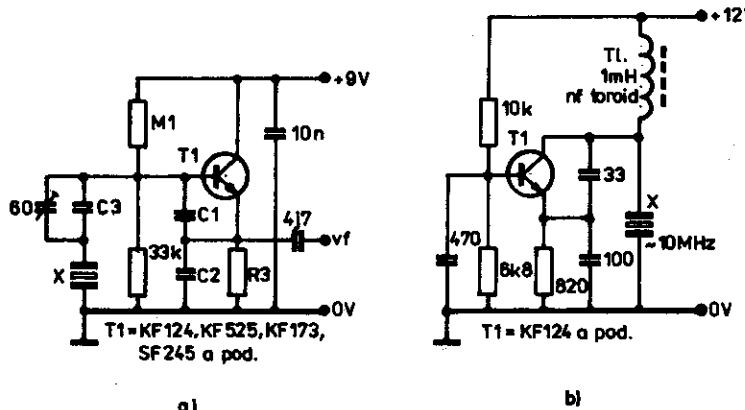


Obr.15. Millerův oscilátor s násobením kmitočtu

vyzkoušet s uvedeným MOS, ale i s typem J-FET. Posléze důkaz o tom, že radicamatér nestárnou, podává zapojení na obr.15. Autor -- jistý Miller ...

Probrali jsme tedy postupně všechny tři důležité oblasti reaktenčního průběhu krystalu a můžeme shrnout a uvést praktické příklady.

1. Oblast kmitočtů okolo f_p, využívá paralelní rezonance krystalu, který je zde vlastně paralelním leděným obvodem. Požadavek minimálního tlumení /zachování Q/ vede tedy k použití aktivního prvku s vysokou vstupní impedancí. U bipolárních tranzistorů bylo již naznačeno. U bipolárního tranzistoru lze zvýšení vstupní impedance báze dosáhnout pouze v zapojení se společným kolektorem /emitorový sledovač, obr.16a/ a dále v zapojení se společnou bází, které dosahuje vysoké impedance v obvodu kolektoru /obr.16b/.



Obr.16a/ Krystal AT v paralelní rezonanči, zapojení SC, Clapp
16b/ Krystal AT v paralelní rezonanči, zapojení SB, Clapp

Doporučená zapojení bipolárních tranzistorů pro krystaly AT v paralelní rezonanci uvádí obr.16a/. Nutno připomenout, že hodnoty vysoké impedance, typických pro unipolární typy, resp. elektronky, nelze jednoduše dosáhnout a krystal je zde více tlumen. Sériová kombinace C1, C2, C3, spolu s připojeným kapacitním trimrem, tvoří doporučenou pracovní kapacitu krystalu. Zvětšováním kapacity trimru ladíme krystal dolů pod f_p /viz obr.9/. Další stupeň je navázán pouze velmi malou kapacitou, aby bylo ovlivňování oscilátoru co nejmenší. Často je nutno použít dobrý oddělovací stupeň.

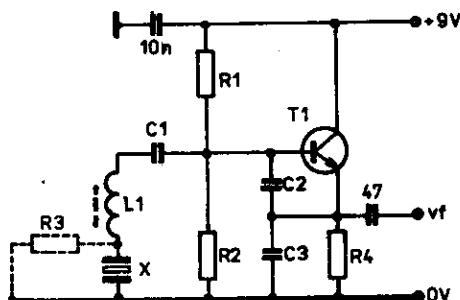
2. Oblast kmitočtů v okolí f_p , využívá sériové rezonance, krystal je zde zapojen jako sériový laděný obvod. Protože impedance sériového laděného obvodu v rezonanci je velmi malá /zvláště u krystalu/, nejsou na vstupní impedance aktivního prvku zvláště nároky. Proto je zde běžné využití bipolárního tranzistoru a to je také důvodem velké obliby tohoto zapojení v poslední době. Krystal je minimálně ovlivňován jak aktivním prvkem /rozdíl impedance je několik růždů/, tak i zátěží. Proto se často můžeme setkat s odběrem signálu z kolektoru nebo se zařazením kolektorového obvodu LC, laděného na násobek oscilačního kmitočtu.

Tabulka 1.

f [MHz]	R_3 [Ω]	C_1 [pF]	C_2 [pF]	C_3 [pF]
0,95 - 3	3300	220	220	0 - 680
3 - 6	3300	150	150	30 - 120
6 - 10	2200	150	150	30 - 120
10 - 18	1200	100	100	30 - 120
18 - 21	680	68	33	30 - 120

točtu. Zde je vhodnější použít pásmovou propust. Oscilátor je zapojení typu Clapp s jeho typickými vlastnostmi.

Kmitočet bude vždy nižší než údaj na krystalu /viz rozdíl $f_p - f_s$. Rezistor R3 tlumí vedlejší parazitní rezonance a není vždy nutný. Zmenšováním kapacity C1 lze posouvat kmitočet vzhůru nad f_s /dle obr.8/. Dalším zvětšováním indukčnosti L1 ned uvedenou hodnotu přechází zapojení ve VXO, který bude popsán dále. Clappovo zapojení pro sériovou rezonanci je na obr. 17.



Obr.17. Krystal AT v sériové rezonanci,
zapojení SC, Clapp

Obě výše uvedené pracovní oblasti /1. 1,2/ využívají ke změně kmitočtu pouze interval $\langle f_p - f_s \rangle$, který je velmi úzký. Dosážitelné rozložení Δf bude vždy menší než tento interval.

Platí zde vztah

$$\Delta f \langle f_p - f_s \rangle = \frac{f_p}{2 \frac{C_o}{C_h}}$$

kde C_o je kapacita elektrod a držáku, C_h aktivní kapacita náhradního schématu. Pro AT řez je jejich poměr 200 až 300. Jak

Tabulka 2.

f [MHz]	R1 [k Ω]	R2 [k Ω]	R3 [Ω]	R4 [Ω]	C1 [nF]	C2,C3 [pF]	L1 [μ H]
0,95 - 1,65	68	33	-	2200	4,7	680	42,5
1,6 - 2,5	68	33	-	2200	4,7	680	16,5
2,5 - 4	68	33	560	1500	4,7	220	16,5
4 - 6	15	6,8	560	1500	1	270	8,5
6 - 10	15	6,8	560	1500	0,15	220	4,5
10 - 15	15	6,8	560	680	0,1	220	2
15 - 21	15	6,8	560	680	0,1	100	1

Pozn.: Induktivnost L1 je udána pro prázdnou cívku bez jádra. Materiál doladovacího jádra volme podle pracovního kmitočtu.

již bylo uvedeno, dosažitelná změna nebude větší než 0,2 promile.
Hodnoty součástek pro zapojení na obr.16a/ a 17 jsou v tabulkách 1. a 2.

2. RÍDÍCÍ OSCILATORY A KMITOČTOVÉ ÚSTŘEDNY

Každý FM transceiver pracující na principu směšování vyžaduje a také obsahuje především část, potřebnou k jednoznačnému určení pracovního kmitočtu nebo kanálu. Jde o kmitočtovou ústřednu nebo místní oscilátor. Tento tzv. generátor rídícího kmitočtu pro FM zařízení bývá řešen jako:

- 1/ Krystalový oscilátor s příslušným řetězem násobičů /obvykle trofejní zařízení jako VXW010, VZN101 atd./
- 2/ Stabilní /víceméně/ VFO s řetězem násobičů /Boubín/
- 3/ Rozložovaný krystalový oscilátor /VXO/, nebo napětím rozložovaný krystalový oscilátor /VCXO/
- 4/ Oscilátor LC přímo na požadovaném vysokém kmitočtu
- 5/ Směšovací VFO /VFX, Super VFO/
- 6/ Kmitočtový syntezátor, tj. převážně složitější obvodové řešení využívající fázového nebo kmitočtového závěsu, často s číslicovou tvorbou pomocných kmitočtů, s možností připojení číslicové stupnice.

Další systémy bývají buď kombinací předešlých, nebo využívají poněkud odlišných principů - zde nutno připomenout perspektivní systém číslicově-analogového doleďování /DAFC/.

Každý způsob má své výhody i nevýhody. Po stránce stability, což je vlastnost především požadovaná, jsou nejvýhodnější způsoby 5 a 6. Způsob 1 je též stabilní, ale z amatérského hlediska velice neekonomický vzhledem k potřebě značného počtu krys-

talů; proto se s ním setkáme spíše v případě úpravy inkurantních radiostanic.

Hledisko stability generátorů kmitočtu bylo až do nedávné doby dominantní. Teprve v poslední době stále více vystupuje do popředí otázka spektrální a šumové čistoty těchto generátorů jakožto omezujícího faktoru při dosažení maximální citlivosti a intermodulační odolnosti VKV přijímačů. Z tohoto hlediska, včetně požadavku jednoduchosti, by tedy bezpochyby nejlépe vyhověl volně kmitající oscilátor LC /VFO/ přímo na požadovaném kmitočtu, kdyby u něho bylo možné dosáhnout vyhovující stability. O možnostech v tomto směru se zmíníme později, nyní se pokusíme seředit zdroje kmitočtu podle spektrální, resp. šumové čistoty:

- 4/ Oscilátor LC napájený z dokonale filtrovaného a bezšumového zdroje.
- 2/ VFO s mísobíči za předpokladu použití nízkošumových prvků a alespoň jednoduchých pásmových propustí mezi správně přizpůsobenými stupni.
- 3/ VXO nebo VCXO se stejnými předpoklady jako 2/.
- 1/ Krystalový oscilátor /CO/ s mísobíči opět se stejnými předpoklady.
- 5/ Směšovací VFX. Opět platí zásada pásmových propustí, dále směšování na nízké výkonové úrovni a pokud možno s lineárními prvky. S výhodou lze využít vyvážených zapojení s unipolárními tranzistory.
- 6/ Kmitočkový syntezátor s fázovým závěsem, ovšem zde jsou veliké rozdíly, takže při splnění jistých předpokladů může v řešení postoupit i o několik míst. Současná

součástková základna umožňuje konstrukci kvalitních syntetizérů při relativní jednoduchosti.

Vraťme se ale k zapojením nejjednoduším, vhodným pro nenáročný provoz FM. Na šumovou čistotu oscilátoru má vliv i jeho napájení a blokování. Např. jednoduchý stabilizátor se Zenerovou diodou produkuje intenzivní šum. Je proto nutno používat složitější stabilizátory a blokovat i filtrovat kvalitními kondenzátory. Při špičkových požadavcích je nutno též velmi uvážlivě koncipovat člen určující kmitočet /laděný okruh/ po stránce kvality součástek.

Dále je velmi výhodné osazovat oscilátory tranzistory J-FET /malý šum, vysoký vstupní odporník/. Vazba oscilátoru na delší, obvykle oddělovací stupeň též hraje svou roli; lépe než běžnou kapacitní vazbu je použít volnou induktivní vazbu.

Zejména u krystalových oscilátorů se stává, že se ve výsledném signálu mohou vyskytnout i jiné kmitočty kromě požadovaného /tzv. mnohovlnnost krystalových rezonátorů/. To nejmenší, co můžeme v praxi učinit, je kontrola signálu jakéhokoli oscilátoru vhodným osciloskopem. Na stínítku kontrolujeme sinusový průběh signálu.

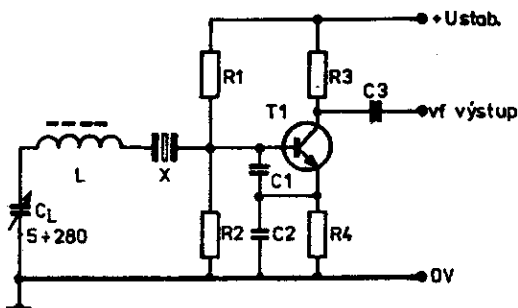
U oscilátorů LC /VFO/ se optimální průběh signálu nastavuje stupněm kladné zpětné vazby, a to i za cenu snížení amplitudy.

U krystalových oscilátorů, jmenovitě v zapojení pro sériovou rezonanci /viz obr.17/ má zásadní význam velikost tlumícího rezistoru R3 paralelně ke krystalu. Jeho volbou lze nejen potlačit parazitní rezonance, ale i zdůraznit požadovaný harmonický kmitočet v případě harmonických oscilátorů.

2.1 ROZLAŽOVANÉ KRYSTALOVÉ OSCILÁTORY

Krytalové oscilátory, popsané v předcházející kapitole, pracují na pevném, předem zvoleném kmitočtu a během provozu se jejich kmitočet nemění.

V některých případech je však potřebné kmitočet krytalového oscilátoru v určitém rozmezí měnit, ať už pro účely získání stabilního řídícího kmitočtu nebo pro vytváření kmitočtově modulovaného signálu.

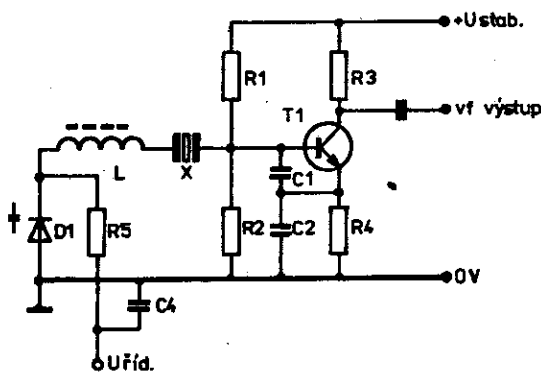


Obr.18. Ladění VCO otočným kondenzátorem

VCO /zkratka z angl. variable x-tal oscillator/ je rozložovaný krytalový oscilátor /viz obr.18/. Zpravidla bývá laděn otočným kondenzátorem. Ladění indukčnosti je též možné, ale po mechanické i elektrické stránce obtížnější.

VCXO /z angl. voltage control ed x-tal oscillator - napětím řízený krytalový oscilátor/ je krytalový oscilátor, jehož kmitočet je řízen přivedeným řídícím napětím. Z obr.19 je zřejmé, že úlohu ladícího kondenzátoru převzala kapacitní dioda -

varikap. VCXO je též možné použít jako zdroj řídícího kmitočtu. Zássadní význam má však využití VCXO pro generování kmitočtově modulovaného signálu.

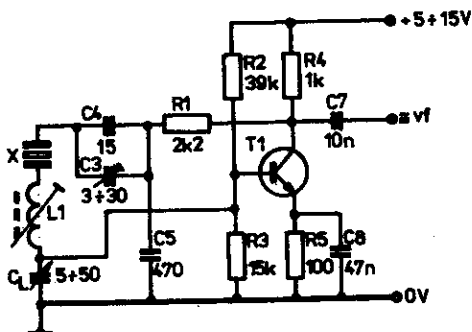


Obr.19. Ledění VCXO varikapem

Oba způsoby používají principu tzv. "tahání kmitočtu krystalu". I když se tento termín zdá poněkud slangový, je používán běžně v odborné literatuře.

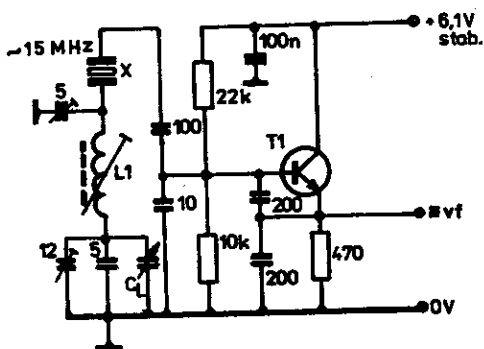
Zapojení VXO nebo VCXO vychází v podstatě ze zapojení pro sériovou rezonanci /obr.17/ s tím, že sériová "fázovací cívka" Ll má podstatně zvětšenou indukčnost. Tato zapojení nalézají pro svou jednoduchost velkou oblibu nejen u amatérů, ale i u profesionálních výrobců. Příklad jednoduchého VXO je na obr.20. "Fázovací cívka" Ll má pro 15 až 6 MHz indukčnost 3 až 20 μ H /čím vyšší kmitočet, tím menší indukčnost/. Vztah pro výpočet minimální indukčnosti byl uveden v předešlé kapitole, stejně tak požadavek vysokého Q a minimálních rozptylových parazitních kapacit. Při experimentech s různými krystaly je nutno měnit,

případně zcela vypustit zpětnovazební dělič R1/C5. Stejně tak je vhodné, snažíme-li se o dosažení co možno největšího rozlícení, nalézt experimentální i optimální pracovní bod tranzistoru.



Obr.20. Příklad VFO se zpětnou vazbou z kolекторu

Dalším známým zapojením VFO /pochází od profesionálního výrobce amatérských zařízení/ je zapojení na obr.19, použité v SSB transceivech IC202 /144 MHz/ a IC402 /432 MHz/. Schéma na obr.21 je zjednodušeno /je vypuštěn obvod rozladění přijímače



Obr.21. VFO transceive IC 202 /IC 402/

proti vysílači - RIT/. V případě FM by obvodu RIT bylo bezpochyby možno využít k modulaci. Použité krystaly pracují na základním kmitočtu přibližně 15 MHz. Při násobení devíti docházíme k výslednému kmitočtu 133,3 MHz /transceiver používá mě kmitočet 10,7 MHz/. Výsledné přeladění na 133,3 MHz je 200 kHz, na základním kmitočtu je to tedy 22,2 kHz. Paralelní kapacity k ladicímu kondenzátoru C_L jsou využity pro nastavení souběhu se stupnicí. Kapacitní trimr 5 pF u krystalu částečně linearizuje průběh ladicí křivky. Indukčnost L_1 je 6 až 7 μH , to je hodnota poměrně nízká, předpokládající kapacitu elektrod krystalu C_o asi 15 pF. Všeobecně se uvádí, že "tahací" krystaly používané profesionálními výrobci jsou poněkud "jiné", s jinými hodnotami prvků náhradního schématu.

Pro porovnání jsou uvedeny typické hodnoty "tahacího" krystalu 10,7 MHz, používaného pro radiostanice Tesla řady VR:

$$L_s = 4,6 \text{ mH} \quad C_s = 48 \text{ fF} \quad R_s = 6,25 \Omega \quad C_o = 10 \text{ pF}$$

Oproti tomu krystaly 10,7 MHz, použité ve filtroch PKF 10,7/15 A mají hodnoty podstatně odlišné:

$$L_s = 22,2 \text{ mH} \quad C_s = 10 \text{ fF} \quad R_s = 20 \Omega \quad C_o = 3 \text{ pF}$$

Na první pohled je zřejmý rozdíl mezi statickou kapacitou C_o elektrod. K vysvětlení funkce si představme krystal jako kondenzátor, jehož dielektrikum je tvořeno vlastním křemenným výbrusem. Ovlivňování dielektrika vnějším napětím přiloženým na elektrody bude úměrné ploše elektrod. Zvětšení plochy elektrod však znamená zvýšení jejich hmotnosti. To je kompenzováno menší tloušťkou výbrusu a změnou jeho průměru.

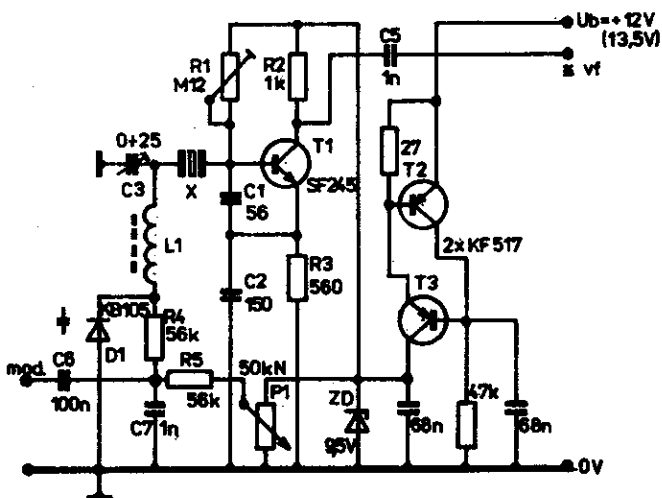
Tomuto zjištění odpovídají i výsledky porovnávacích měření. Miniaturní krystaly 10,7 MHz projevují daleko menší ochotu k "tahání" vzhledem ke své minimální kapacitě, dané nepatrným průměrem elektrod. Podobně se chovají i oscilační krystaly v nových skleněných ministurních pouzdrech SD 2/13. Větší starší krystaly v pouzdrech SD 4/24-9, KK 2/19 a některé /na všechny/ v pouzdrech KD 2/13 mají již větší kapacitu kolem 5 pF a skutečně jsou pro "tahání" o něco vhodnější. Poměrně stabilních výsledků lze však dosáhnout se starými typy krystalů z RM31 a R021, které mají vesměs kapacitu C_0 téměř 10 pF. Záleží samozřejmě na jmenovitém kmitočtu krystalu, přesto však velikost statické kapacity C_0 může při výběru krystalů pro "tahání" sloužit jako základní vodítko. Rozhodující pro použitelnost zvoleného typu krystalu bude však vždy praktický experiment.

Amatér si obvykle moc vybírat nemůže; musí použít krystal, který je mu dostupný a dosáhnout s ním maximum. To respektuje i zapojení, použité v transcievru TRP-3 /obr.22/.

Vzhledem k velkému požadovanému přeladění je nutno splnit požadavek minimálních montážních kapacit. Proto bylo zvoleno zapojení s varikapem. I když není vhodné používat varikapy v oblasti, kdy ladící napětí klečí pod hranici 2,5 V, přesto je využito i této rezervy k dosažení co možno největšího přeladění.

Při použití typu KB109 s velkou strmostí a relativně vysokým Q lze základní požadavek na šíři přeladovaného pásmá splnit. Vliv na celkové rozladění, ve kterém krystal pracuje synchronně /je "tahán"/, má i správné nastavení pracovního bodu tranzistoru oscilátoru a trimru C3. V původní verzi bylo použito harmonického krystalu 36 MHz z trofejní radiostanice Racek.

Jde o harmonický krystal se základním kmitočtem 12 MHz v pouzdru KK 2/19. Zde nutno zdůraznit, že jakýkoli, tedy i harmonický krystal, musí mít "fázovací cívku" rezonující s C_0 na základním kmitočtu, jedině pak je "tahán". Pro nastavování lze doporučit následující postup:



Obr.22. VK20 transceivru řady TRP

1. Zvolíme vhodný krystal. Není nutno přiliš uvažovat o sériové či paralelní rezonanči, resp. o kmitočtu na krystalu uvedeném, protože ten se připojením sériové indukčnosti stejně sníží. Budeme-li mít štěstí, podaří se nám získat krystal, jehož násobek bude odpovídat kmitočtu asi 145,5 MHz. Ten potom po připojení "fázovací cívky" poklesne přibližně do pásmo vstupu převáděče a nebude vyžadovat přílišné nastavení. V ostatních případech platí zásada, že je lépe použít kmitočtově nižší krystal,

jehož kmitočet chemicky zvýšíme, než krystal s kmitočtem sníženým jódem.

2. Změříme co nejpřesněji statickou kapacitu elektrod C_0 . Výpočtem určíme minimální indukčnost "fázovací cívky". Skutečná indukčnost bude o něco vyšší. Např. pro zmíněné krystaly z Racka vychází $L_{min} = 25 \mu H$, použije se zvýšení na $30 \mu H$. Pro jiné krystaly bude samozřejmě i indukčnost jiná.

3. Praktické zhotovení fázovací cívky - lze doporučit dva způsoby.

První, méně pracný, použijeme tehdy, neklademe-li extrémní důraz na miniaturizaci. Použijeme kostřičku průměru 5 mm a požadovanou minimální indukčnost navineme pokud možno do jejího středu. To je proto, aby konce vinutí měly minimální montážní kapacitu a samozřejmě se počítá s co nejkratšími přívody ke krystalu i varikapu; vše vzdušné, žádný plošný spoj. Vinutí musí být vzdáleno od přepážek a částí, které by zvyšovaly parazitní kapacity, z těhož důvodu není vhodný stínící kryt. Zašroubováním doladovacího jádra pak máme možnost indukčnost "fázovací cívky" pohodlně zvyšovat až na hodnotu potřebnou k požadovanému přeladění. Pro nejvíce používané krystaly v kmitočtové oblasti 6 až 15 MHz bude vhodné feritové jádro z hmoty Ni nebo NO5; lze dosáhnout Q asi 80 při poměrně malém počtu závitů. Postačí vodič Ø 0,1 mm CuL.

Druhý případ, použity právě u transceiveru TRP, kde je vše směštěno do nejmenšího prostoru, je poněkud pracnější. "Fázovací cívka" je navinuta na feritovém středním jádru /"čince"/ z mf transformátorů. Jádro je z hmoty Ni a montážní kapacity jsou u tohoto provedení minimální vzhledem k jeho rozsahu /při

činiteli jakosti Q okolo 80%. Potíž je v tom, že přesné nastavení indukčnosti je nutno provádět přidáváním či ubíráním závitů zkusemo a obvykle přímo v daném oscilátoru, což vyžaduje jistou trpělivost. Vhodné je jádro navinout plné, převléci je těsně kouskem bužírky PVC a drátek zpod ní postupně po jednom závitu vytahovat a zkracovat.

Změnou indukčnosti, případně přeladováním kondenzátorem u VXO a kapacitní diodou u VCXO se snažíme dosáhnout stavu, kdy je kmitočet synchronizován krystalem. Vypadnutí ze synchronizace pozdáme snadno – obyčejně to bývá při příliš velké indukčnosti a kmitočet potom "skočí" až o několik MHz niže.

Požadovanou šířku přeladění ovlivní též nastavení pracovního bodu oscilátoru a trimru C3. Kmitočet sledujeme nejlépe na čítači. V této fázi nás zatím nezajímá absolutní kmitočtová poloha, ale pouze rozsah přeladění. Můžeme počítat s maximem asi 0,5 % jmenovitého kmitočtu krystalu, u vyšších kmitočtů to jde lépe než u nižších.

4. Drží-li krystal synchronizaci v požadované šířce přeladění, nebo máme-li i malou rezervu, zajistíme cívku stearinem a pomocí již popsaných chemických metod dotáhneme krystal a tím i celé pásmo do požadovaného kmitočtového rozsahu. U krystalů v kovových pouzdrech nutno počítat s vlivem uzemnění pouzdra, má vliv na kmitočet i šířku přeladění.

Popsané řešení s indukčností na feritovém jádře dobře vyhoví pro požadavky provozu FM, v případě provozu SSB se nároky zvyšují.

Otzáka stability VXO nebo VCXO: V případě provozu FM na převáděčích je prakticky ověřeno, že kmitočtová odchylka 2,5 kHz

od středu kanálu nespůsobí snatelnou újmu na srozumitelností. To vede na stabilitu asi $15 \cdot 10^{-6}$, což je přibližně stabilita běžného krystalu v doporučeném zapojení bez jakéhokoli přeladování. Zde není třeba zvyšovat tak přísně dlouhodobou stabilitu jako u komerčních radiostanic, které pracují na pevně přidělených kanálech, často ve ztížených provozních podmírkách.

V amatérském provozu jde o stabilitu krátkodobou, vztázenou na dobu jednoho spojení. Při jisté benevolenci předpokládaje, že trvá 20 minut. Uvedenému požadavku vyhovujejí popsaná VCO či VCXO bez úprav, ba s určitou rezervou. Pro provoz SSB je ovšem požadavek přísnější /stabilita musí být lepší o jeden řád/. Tому musí odpovídat konstrukce oscilátoru po mechanické i elektrické stránce.

Především je nutná dokonalá stabilizace napájecího napětí, a to zejména u VCXO, který se napětím ladi. Stabilizátor, který je velmi málo citlivý na změny napětí baterie, je též na obr. 22. V případě malých odběrů plně nahradí MAA723. Rozdíl mezi napětím baterie a Zenerovy diody ZD má být v každém případě alespoň 2,5 Voltů.

Problém teplotní stability kmitočtu je o něco složitější. Předně musíme vzít v úvahu, že teplotní součinitel α_x běžného krystalu řezu AT je vždy záporný v oblasti teplot 0 až 50° C. Zapojením cívky s výrazně kladným teplotním činitelem α_L /zejména v případě feritového jádra/ do série s krystalem působí obě nestability ve stejném smyslu, tj. se stoupající teplotou kmitočet krystalu klesá a indukčnost se zvětšuje. Vzrůstu indukčnosti v leděném okruhu pochopitelně odpovídá i další pokles kmitočtu.

Vliv indukčnosti není v celém přešládovaném rozsahu stejný. Indukčnost se projevuje na dolním konci rozsahu, kdy je krystal nejvíce "odtažen". V blízkosti sériové rezonance /na horním konci rozsahu/ převládá zase vliv krystalu a indukčnost se uplatňuje minimálně. Zcela zákonitě se nabízí možnost teplotní kompenzace kmitočtu analogické oscilátorům LC. Zapojení však příliš možností ke kompenzaci nedává, protože vlastní rezonanční kapacita okruhu je tvořena statickou kapacitou krystalu C_0 . Zbyvá jediná možnost, a to provedení teplotní kompenzace kapacitního děliče $C1/C2$ použitím materiálu N750 /U/. Tato přibližná kompenzace už je pro provoz FM dostatečná. U vzorku bylo dosaženo změny kmitočtu 150 Hz/20 minut, a to na základním kmitočtu 12 MHz. Při vyšších měrocích je nutné podrobně vynést křivku teplotní závislosti a detailní kompenzaci provést vhodnou volbou kondenzátorů v kapacitním děliče. Na rozdíl od oscilátorů LC se kompenzace neprovádí na středním kmitočtu, ale na dolním konci kmitočtového rozsahu. Pro účely kompenzace se jeví vhodná i metoda "elektronické kompenzace kmitočtu", která bude popsána v dalším textu.

Další, dnes stále více sledovanou vlastností u oscilátorů, je spektrální, resp. šumová čistota oscilačního kmitočtu. Po této stránce si VXO vedou velmi dobře. Ve VCKO se poněkud více projevuje vliv šumu varikapu.

V časopise CQ-DL byl uveřejněn test zařízení IC-402, doplněný spektrogramy klikání, jednotónové i dvoutónové zkoušky [1]. Přesto, že základem tohoto zařízení je verze pro pásmo 145 MHz IC-202 a pásmo 432 MHz se získává směšováním, potlačení nežádoucích produktů v okolí základního kmitočtu je vynikající.

Autor testu DL 1 BU zdůrazňuje bohaté využívání pásmových propustí, od oscilátoru přes násobiče až po směšovače. Toto budiž zásadou i při amatérské konstrukci.

2.2 PLYNULÉ LADITELNÉ OSCILÁTOŘE LC - VFO

S použitím VFO se setkáváme výhradně v amatérských konstrukcích. Důvodem je zpravidla to, že vhodný krystal nebyvá vždy běžně dosažitelný.

V zásadě rozlišujeme dva způsoby. Při prvním je základní kmitočet VFO násoben řetězem násobičů až do oblasti požadovaného řídícího kmitočtu. V tomto případě je i základní nestabilita VFO násobena příslušným koeficientem násobení kmitočtu.

Druhý způsob je využití VFO v kmitočtových ústřednách na principu kmitočtové syntézy. Zde obvykle nedochází k násobení základní nestability. V dalším se zaměříme na první způsob, který je z hlediska celkové stability kmitočtu mimořádnější.

Na stabilitu kmitočtu VFO mají hlavní vliv:

- 1/ změny teploty
- 2/ stabilita napájecích napětí
- 3/ stabilita mechanické konstrukce
- 4/ ovlivňování kmitočtu VFO změnou zátěže

Vliv působení změn teploty na oscilátor LC je znám. Každá, i sebedokonaleji provedená cívka má teplotní součinitel indukčnosti a_L vždy kladný. To znamená, že se souborem teploty se rozměry a tím i indukčnost cívky zvyšuje. Tím výsledný kmitočet laděného obvodu oscilátoru klesá. Pro eliminaci tohoto jevu se používá teplotní kompenzace kmitočtu oscilačního obvodu. Prin-

cíp tkví v tom, že do rezonančního okruhu se zapojí kondenzátor, který má opačný /záporný/ teplotní součinitel a_C . Pak se vzhledem k teploty velikost kapacity tohoto kondenzátoru klesá a výsledný kmitočet obvodu tudiž stoupá. Můžeme tedy dosáhnout stavu, kdy obě teplotní odchylky působí na kmitočet laděného okruhu v opačném smyslu a zůstávají v poměrně širokém teplotním rozmezí v rovnováze.

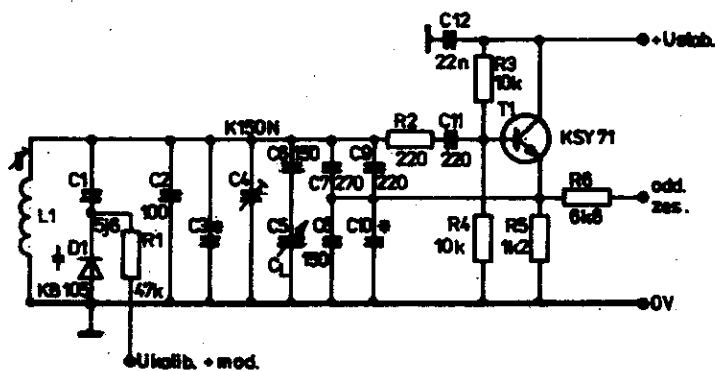
V praxi je, jako obvykle vše složitější. Musíme si uvědomit, že kladný teplotní součinitel cívky je dán teplotní rostažností hmoty cívky. Ta se však projevuje i u ostatních součástek oscilátoru. S teplotou se mění např. i rozměry plošného spoje, vzdálenost stěn stínícího krytu od součástek a spojů atd. Důsledkem je změna kmitočtu obvodu, jejíž velikost nelze předem ani odhadnout.

Protože změny teploty působí samozřejmě i na polovodiče, a to nejen ve vlastním oscilátoru, ale např. i ve stabilizátorech napájecího napětí, můžeme předpokládat, že výsledná závislost kmitočtu oscilátoru na teplotě bude mít charakter křivky značně složité. Důležité je, aby průběh této křivky byl vždy spojitý a bez výrazných nepřavidelností. Křivka se tedy nesmí nikde přetrhnout, poskočit a po určité době náběhu má být její průběh téměř lineární - jedině potom má teplotní kompenzace smysl.

Je zřejmé, že na stabilitu kmitočtu má podstatný vliv robustní a pevná mechanická konstrukce oscilátoru, která musí mít nejen dostatečnou tuhost, ale i dobrou tepelnou vodivost. Z těchto důvodů je vhodné VFO vestavět do silnostěnné krabičky z teplěně dobře vodivého materiálu. Krabička musí být dobrě zakrytována a utěsněna, aby se zamezilo volnému proudění vzduchu.

Jednotlivé součástky oscilátoru nereagují na změny teploty stejně rychle, a to je právě příčina nepravidelností ve výsledné křivce tepelné stability. Dobrá tepelná vazba a též tepelná se- trvačnost mají tedy přinejmenším stejný vliv na stabilitu kmitočtu jako mechanická pevnost konstrukce.

Příkladem relativně dobré mechanické konstrukce je VFO transceivru Boubin. Zde je zásadním problémem jen obtížnost kmitotové kompenzace, která by správně měla být prováděna individuálně, pro každý kus zvláště. To je však u dané koncepce /fixně za- dané kompenzační kapacity/ při sériové výrobě těžko myslitelné,



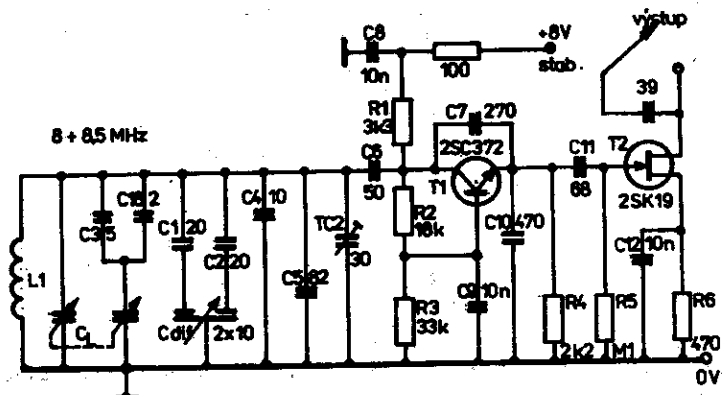
Obr.23. VFO transceivru Boubin 78

svláště uváděmme-li si, že individuální skupinová kompenzace trvá i zkušenému pracovníkovi několik hodin. Schéma VFO transceivru Boubin 78 je na obr.23.

Sledováním provozu mnoha exemplářů tohoto transceivru se došlo k závěru, že s rostoucí teplotou kmitočet klesá. To svědčí o tom, že základní kompenzace není dostatečná, že je oscilá-

tor "nedokompenzován". Původní pevná rezonanční kapacita oscilačního okruhu je složena z kondenzátorů C2 = 100 pF stabilit N 047 a paralelního kompenzačního C3, složeného ze tří kusů: C51 a C52 po 10 pF, C53 6,8 pF, vše typy Negatit N750. Celková pevná kapacita je tedy 127 pF. Chceme-li změnit kompenzaci, musíme provést "přerozdělení" této složené kapacity při zachování její jmenovité hodnoty, aby nedošlo k velkým rozdílům v souběhu stupnice. Pokudaně byl stanoven kompenzační poměr C2 = 82 pF Stabilit N047 /JJa/ a C3 = 47 pF Negatit N750 /JUd/. Uvedená úprava znamená zlepšení stability VFO transceivru Boubín přibližně o jeden řád /desetinásobně/.

Dosažení vyhovující teplotní stability není bez problémů ani pro světově známé výrobce. Schéma VFO populárního transceivru



Obr.24. VFO transceiveru FT221R

YAESU FT221-R je na obr.24. Na rozdíl od Boubínu není použito násobení a VFO pracuje též na nižším kmitočtu, a to v rozsahu

8 až 8,5 MHz. Obvod parametrické stabilizace kmitočtu je poměrně komplikovaný. Hrubá kompenzace je určena kondenzátory C4 a C3 se záporným teplotním součinitelem. Jemné, individuální nastavení kompenzace se provádí diferenciálním kondenzátorem Cdif, který má v sérii se stately zařazeny dva kondenzátory 20 pF, z nichž C1 má velký záporný teplotní činitel, C2 pak nepatrný teplotní činitel blízký nule. Optimálním nastavením diferenciálního kondenzátoru lze proto teplotní závislost změn kmitočtu eliminovat téměř ideálně. Toto nastavení se provádí již ve výrobě.

V důsledku stárnutí součástek je nutná vždy po určité době /asi jeden rok/ kontrola a nové nastavení diferenciálního kondenzátoru. Pokud je tato kontrola opomenuta, nezmí nás udít, že zařízení vykazuje posun kmitočtu až 5 kHz/hod. Ani relativně dobře propracovaná konstrukce není tedy prosta všech problémů. Kmitočtová kompenzace VFO teoreticky vyhovuje pouze pro jediný kmitočet /obvykle uprostřed ladícího rozsahu/, pro ostatní kmitočty je nutný jiný poměr kompenzačních kapacit. Ovšem i tento jev lze redukovat, jak opět naznačuje obr.24. K zavedení podílu kompenzačních kapacit /C3, C18/ se při ledění v daném kmitočtovém rozsahu využívá druhá sekce ladícího kondenzátoru CL.

Napájecí nepětí VFO musí být stabilizováno pokud možno ve dvou stupních. Zásadně nestačí stabilizace pouze Zenerovými diodami. I když se může zdát, že stabilizátor s MAA723 může díky svým dobrým vlastnostem napájet více obvodů, je to pravda pouze u zařízení s malým výkonem. Lépe je dodržovat zásadu, že VFO má mít svůj vlastní oddělený stabilizátor. Dobré jsou typy řady MAA78..., nejlepší jsou speciální nízkošumové stabilizátory

/Tesla MAC 01/. Skutečnost, že i stabilizátory napětí mají svůj vliv na celkovou křivku závislosti kmitočtu na teplotě, byla již uvedena; navíc je třeba uvažovat i jejich vlastní šum.

Velice problematické je použití VFO v přenosných transceiverech napájených z baterií, kde se nepříznivě projevuje pokles kapacity článků. Stejně tak se VFO příliš nehodí pro mobilní provoz, kdy ke změnám napětí vozidlové baterie během jízdy přistupují i značné teplotní výkyvy uvnitř vozidla. Plynulé ladění vůbec je z praktického hlediska pro provoz v automobilu nevhodné.

Mechanická konstrukce musí mít nejen nezbytnou tuhost a kompaktnost, ale i dobrou tepelnou vazbu všech částí, ovlivňujících kmitočet. Příklad praktického řešení bude uveden v dalším textu.

Shrneme-li uvedené požadavky, je zřejmé, že aplikace VFO v praxi není zdaleka prosta nejrůznějších obtíží a mnohdy přináší daleko více komplikací než jiná obvodová řešení. Jde tedy o jednoduchost pouze zdánlivou.

2.3 NÁSOBIČE KMITOČTU

Všechny dosud probrané oscilátory, ať už jde o XO, VXO, VCXO či VFO jsou někdy používány ve spojení s řetězem násobičů kmitočtu. Násobením základního oscilátoru získáme vysoký řídící kmitočet v oblasti 135 MHz nebo přímo 145 MHz. Podíl výsledného a základního kmitočtu je celé číslo a nazýváme jej činitelem násobení n .

Je-li základní oscilátor kmitočtově modulován, je činitelem

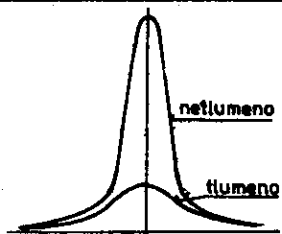
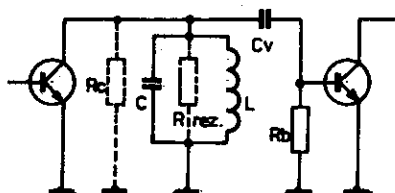
n násoben i původní kmitočtový zdvih. Stejně tak u přesádovaných základních oscilátorů je násoben i ladící rozsah. Násobení má negativní vliv na výslednou absolutní stabilitu, protože kmitočtová odchylka základního oscilátoru se vlivem násobení těž světuje $n -$ krát. Relativní stabilita se zachovává.

Násobiče kmitočtu jsou vlastně vysokofrekvenčními zesilovači třídy C, u nichž volbou předpětí ménime úhel otevření a tím i obsah harmonických kmitočtů v kolektorovém proudu. Maximu požadovaného harmonického kmitočtu odpovídá vždy určité předpětí zesilovače, tj. určitý úhel otevření θ . V amatérských podmínkách nastavujeme předpětí násobičů obvykle zkušeno tak, aby požadovaný harmonický kmitočet měl maximální amplitudu.

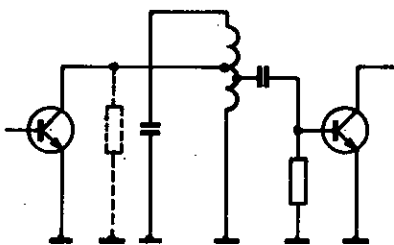
Často se však zapomíná na ostatní přítomné kmitočty. Protože násobiče jsou zároveň i zesilovači, zesílí ochotně i nežádoucí kmitočty. Řetězem násobičů tak procházejí všechny kmitočty od základního až po příslušný výstupní harmonický kmitočet, které mohou spolu tvářit nežádoucí kombinační produkty.

Potlačení nežádoucích produktů je možné pouze důsledným zařazováním selektivních obvodů mezi jednotlivé stupně řetězu násobičů. Obvody musí dostatečně potlačit všechny kmitočty kromě požadovaného, nemusí být tedy tlumeny nesprávně připojenými aktivními prvky. Názorné porovnání různých způsobů vazeb mezi stupni násobičů je na obr.25. Je zřejmé, že nejlepších výsledků je možno dosáhnout s dvouobvodovou /nebo i víceobvodovou/ pásovou propustí, proto jí v praktických konstrukcích dáváme vždy přednost.

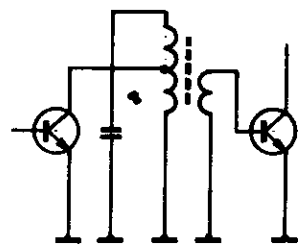
Důležitost selektivity nebyla plně doceněna ani při koncepci násobičů v transceiveru Boubin /obr.26/, takže tento transceiver



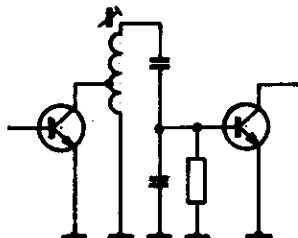
a) Kapacitní vazba - nevhodný způsob, laděný obvod je tluměn připojenými paralelními impedancemi, zejména při velké hodnotě C_V



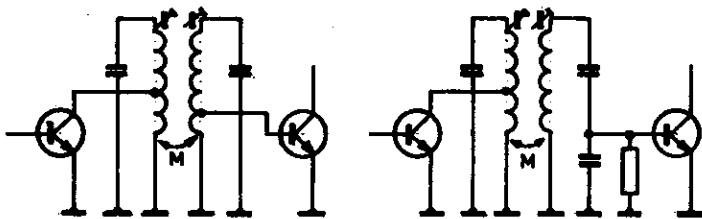
b) Kapacitní vazba z odbočky - vhodnější



c) Induktivní vazba transformátorem - vhodné

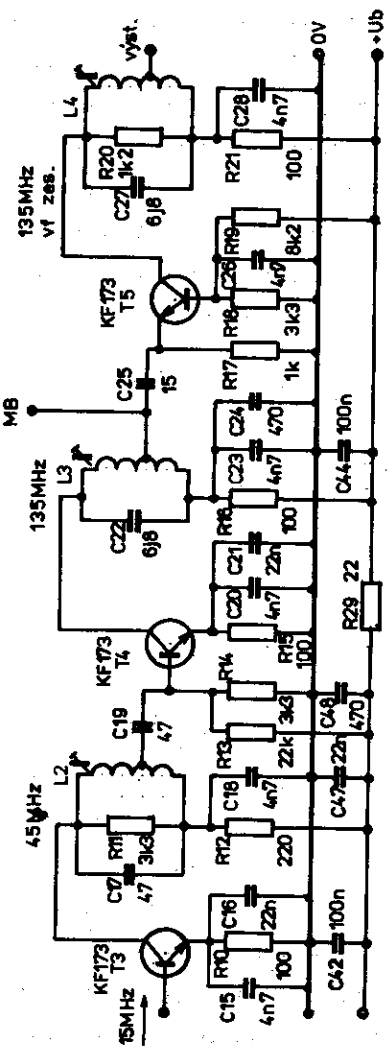


d) Vazba kapacitním děličem - vhodná



e) Vazba pásmovou propustí - nejvhodnější

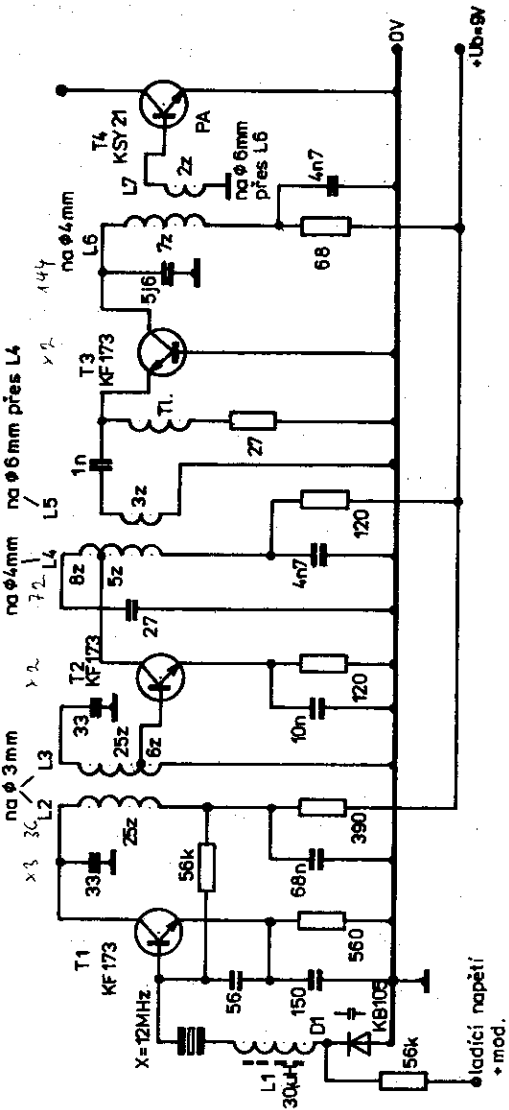
Obr.25. Násorné porovnání způsobů vazeb mezi stupni násobičů



Obr.26. Nasobičé transceivru Boubín 78

trpí nejen parazitními emisemi, ale i parazitními příjmy. Základní příčiny si ukážeme na schématu. Kolektory tranzistorů T3 a T4 nejsou umístěny na odbočkách, ale na živých koncích laděných obvodů; navíc je obvod v kolektoru T3 uměle zatlumen rezistorem R11. Důvodem byl požadavek konstantní amplitudy signálu v potřebném ladicím rozsahu. Správně by zde měl být zařazen alespoň dvouobvodový pásmový filtr. Tranzistor T5, zapojený jako výstupní zesilovač se společnou bází, sice dosažení vysoké impedance v kolektoru umožňuje, přesto však zde místo pásmového filtru nacházíme tlumící rezistor R20. Přiliš vhodné nejsou ani kapacitní vazby mezi stupni /C19 a C25/, byť umístěné na odbočkách vinutí. Lépe je používat vazby induktivní.

Důsledná aplikace pásmových filtrů je důležitá zejména v případech, kdy základní oscilátor je řízen krystalem, často v harmonickém zapojení. Snad nejjednodušší koncepcí při zachování alespoň minimální selektivity představuje zapojení násobičů z transceivru TRP na obr.27, resp. původní konstrukce minitransceivru SM7EY [2]. Protože krystalový oscilátor může kromě základního kmitočtu produkovat i kmitočty nežádoucí, je ihned v kolektoru zařazena selektivní odtlumená pásmová propust na kmitočtu 36 MHz. Její šířka vyhovuje i pro přesadění výsledného převáděčového pásmu. Kolektor zdvojovače T2 je připojen na odbočku a další zdvojovač T3 je na předchozí stupeň navázán volnou induktivní vazbou L5. Zapojení T3 se společnou bází umožňuje dosažení vyšší impedance v kolektoru. Koncový stupeň je opět optimálně přizpůsoben induktivní vazbou L7. Předností konstrukce je, že všechny indukčnosti jsou samonosné a veškeré ladění se provádí roztahováním závitů cívek, nastavení vazby



Obr.27. Schéma násobitka transceivru TRP

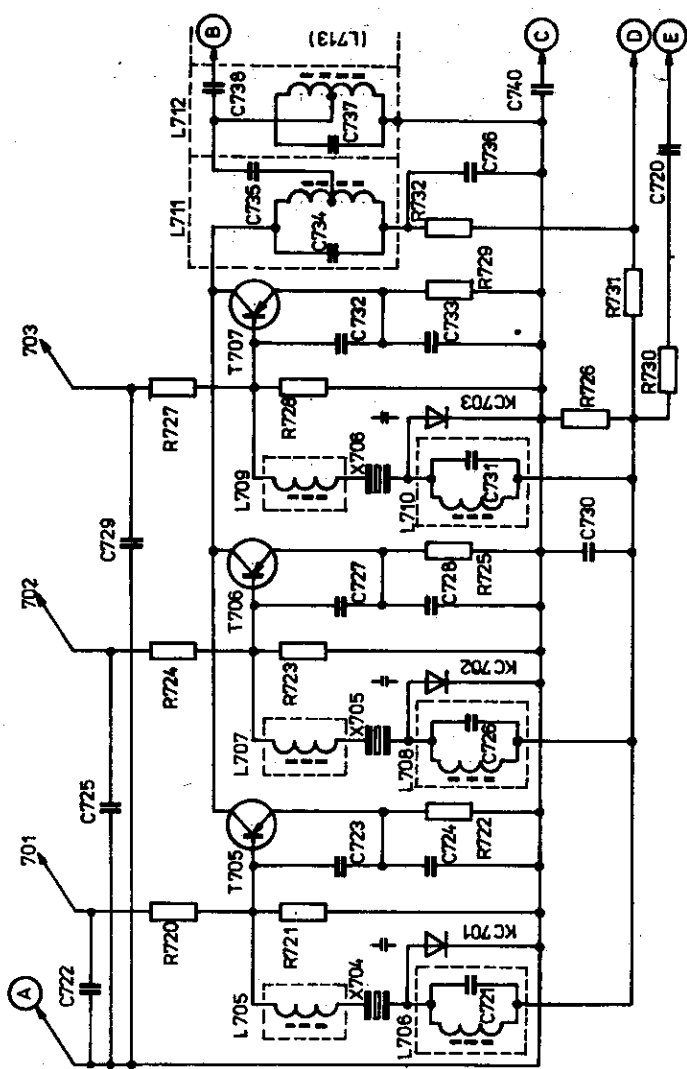
pak jejich vzájemným přiblížováním. Konstrukce je proto velice levná a materiálově dostupná. S minimálnimi změnami se s ní můžeme setkat i v zapojení dalších amatérských transceiverů, jako např. "Mazák", "Šmudla" atd.

S důsledním uplatněním pásmových filtrů v řetězech násobičů se setkáváme u profesionálních radiostanic. Na obr.28 je kmitočtová ústředna vozidlové radiostanice VZN 101. Bezprostředně za oscilátory vysílací části je zařazena třiobvodová pásmová propust s požadovanou šířkou pásma, následující násobič T708 je v zapojení se společnou bází. Poslední stupeň T709 je opět impedančně přizpůsoben v obvodu báze i kolektoru.

Všechny výše uvedené příklady dokumentují skutečnost, že i relativně méně důležitá část radiostanic, za jakou jsou povážovány násobiče kmitočtu, vyžaduje při návrhu a konstrukci jistou uvážlivost a pečlivost. Jen tak lze předejít následným /a přitom zbytečným/ potížím s nežádoucími kmitočty. Na selektivitě se v žádném případě šetřit nevyplácí a zkušenosť potvrzuje, že je vždy lépe v tomto ohledu požadavky ještě poněkud přehnat. Pravidlo, že méně je někdy více, zde rozhodně neplatí.

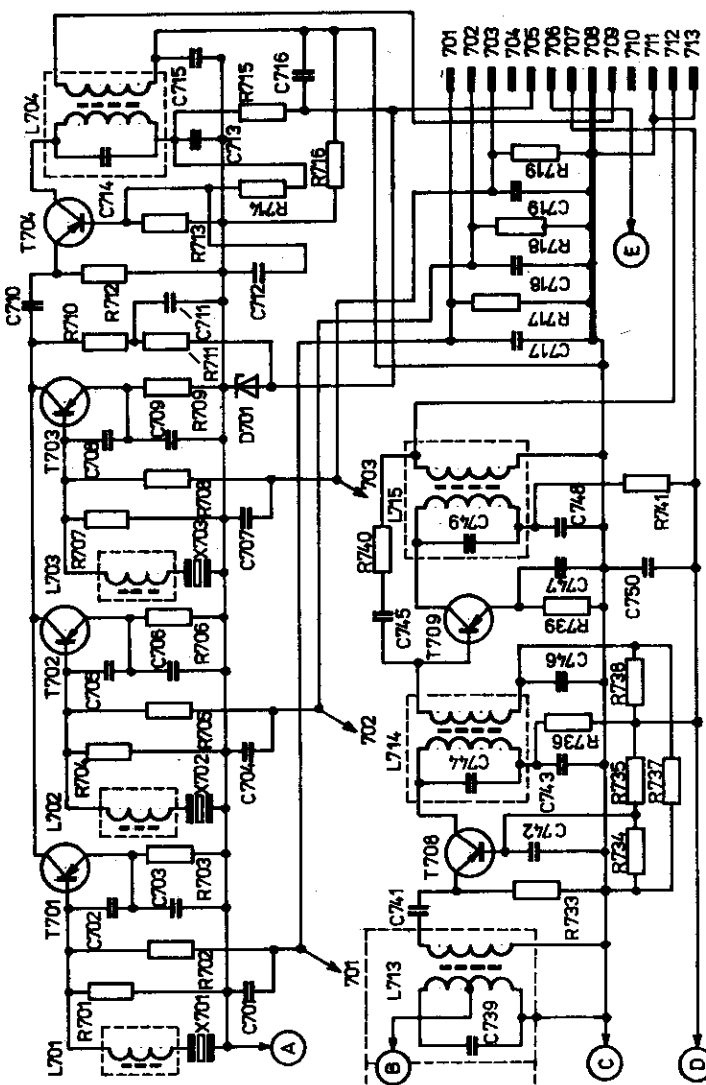
2.4 OSCILÁTORY LC NA VYSOKÉM KMITOČTU

I když problém stability řídícího oscilátoru je dnes běžné řešit pomocí kmitočtových syntezátorů, je použití jednoduchého oscilátoru LC přímo na pracovním kmitočtu v oblasti VKV pro mnohé konstruktéry věcí velice lákavou. O výhodách tohoto způsobu z hlediska šumové a spektrální čistoty jsme se již zmínili sbývá stěžejní otázka stability.



Obr. 28a/ Kmitočková ústředna VARIOL - oscilátory vysílací časti

Obr. 28b/ Kmitočtová detektora VHF101 - oscilátory přijímače, řetěz násobků kmitočtu

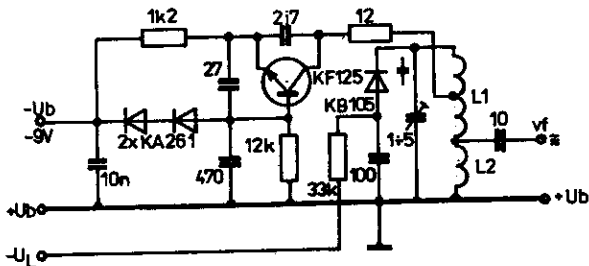


Záleží vždy na tom, jak vysoko "položíme laťku". Samozřejmě pro SSB provoz jsou nároky vysoké, pro FM však zhruba o 1 rád menší. Vyjádřeno stručně: krátkodobá stabilita pro SSB bude např. 250 Hz za půl hodiny, u FM postačí 2,5 kHz za stejný čas. Oscilátory se stabilitou dostatečnou pro FM provoz jsme uměli dělat již s elektronkami, není tedy důvod pochybovat o úspěchu ani v dnešní době.

Povšimněme si tedy několika základních řešení. To nejjednodušší bude asi vhodné pro ty, kteří si chtějí zhotovit pouze přijímač pro poslech provozu na převáděčích. Takový přijímač lze řešit jako konvertor k rozhlasovému přijímači. Není ani nutné využívat FM, pro detekci úzkopásmové FM postačí nalaďení na bok křivky a využijeme přímo krátkovlnného rozsahu přibližně na 10,7 MHz /nebo jiný kmitočet bez rušení/. Jako velmi vhodná pro tento účel se ukázala konstrukce podle [3]. Při minimálních úpravách, spočívajících hlavně ve využití plného rozsahu ladícího napětí, zmenšení indukčnosti a pečlivého nastavení souběhu, byla tato jednotka na původním plošném spoji použita ve spojení s rozhlasovým přijímačem jako přehledový přijímač od 65 do 150 MHz. Stabilita oscilátoru byla zejména v pásmu 145 MHz při poslechu převáděčů velmi dobrá; stručně charakterizováno – nalaďený převáděč se udržel bez nutnosti doladění po dobu asi půl hodiny. Samozřejmě je nutno zdůraznit, že přijímač byl provozován ve stálé pokojové teplotě bez otevřání okna apod., napájecí i ladící napětí bylo pečlivě stabilizováno.

Lze předpokládat, že při použití pouze úzkého ladícího rozsahu pro pásmo 145 MHz budou výsledky ještě o něco lepší a pro napájecí a ladící napětí bude možno použít jediný stabilizátor.

Odpadnou i komplikace se souběhem, protože vstupní obvod i pásmovou propust je v tomto případě možno realizovat s pevným naladěním, varikap zůstane pouze v obvodu oscilátoru. Zapojení samotného oscilátoru je na obr.29. Varianta oscilátoru se společnou bází /mezi amatéry vysílači známá jako Swan VFO/ je pro vyšší kmitočty vhodnější než obligátní Clapp se společným kolektorem.



Obr.29. Oscilátor jednoduchého konvertoru FM

Výhodné je galvenické uzemnění studeného konce cívky oscilačního obvodu, bez blokovacího kondenzátoru. Pracovní bod je nastaven pomocí dvou křemíkových diod. Teplotní závislost diod je přibližně inverzní k teplotnímu driftu tranzistoru. Trimr v laděném obvodu je levný skleněný typ 1 až 5 pF; slouží zároveň jako pájecí opěrný bod pro živý konec cívky a pro varikap. Přesto, že se zapojení se společnou bází vyznačuje vysokou kolektorovou impedancí, je kolektor zapojen na odbočku cívky L1, tím se dále zmenší ovlivňování laděného obvodu tranzistorem. Cívka L1 je navinuta na obvyklém tělisku Ø 5 mm drátem Ø 0,63 mm CuU a má 5 závitů, odbočka je na 1,5 závitu od dolního konče, jádro NOL.

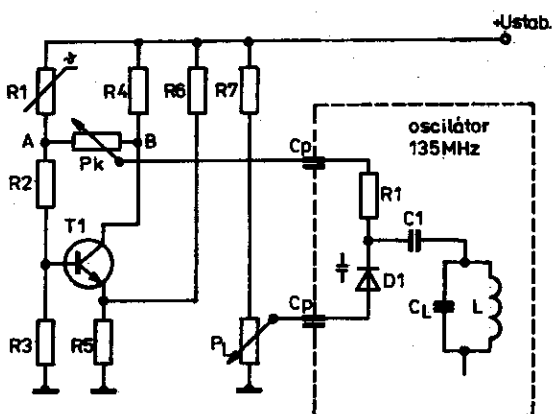
Cívka L2 je umístěna mimo tělisko - stejný vodič jako pro L1 délka 15 mm zformovaný do jednoho závitu; s cívkou L1 tvoří induktivní dělič pro výstupní napětí. Blokovací kondenzátor v bázi je miniaturní slídový. Ostatní kondenzátory jsou keramické, z hmoty Stabilit N 047 /J/. Kondenzátor 10 nF může být libovoľný keramický typ, na stabilitu oscilátoru nemá výrazný vliv. Všechny rezistory jsou s kovovou vrstvou /např. TR151, TR191/. Byl vyzkoušen i tranzistor SF245, který má i v oscilátorovém zapojení dobré šumové vlastnosti. S výhodou lze uvedené zapojení řešit tranzistory typu PNP /BF414, BF451, BF479/, je ovšem nutno obrátit polaritu diod. Výhoda takového řešení je v možnosti uzemnění záporného pólu napájecího zdroje.

Zajímavé řešení stabilního VFO na kmitočtu 135 MHz předkládá pramen [4]. Základní myšlenkou je využití elektronické teplotní kompenzace, o které jsme se zmínili již v souvislosti s krystallovými oscilátory. Autorem je Y25AA. Princip elektronické kompenzační jednotky je na obr.30.

Termistor R1 spolu s rezistory R2 a R3 vytváří teplotně závislý dělič napětí; napětí v bodě A bude tedy funkcí teploty a bude se s rostoucí teplotou zvyšovat. Stejně tak se bude zvyšovat napětí na bázi tranzistoru. Ten působí jako invertor, takže na jeho kolektoru v bodě B dostáváme průběh přesně opačný – napětí zde s rostoucí teplotou klesá.

Nastavením běžce kompenzačního potenciometru P_k mezi body A a B můžeme tedy najít takový stupeň kompenzace, který přesně odpovídá změně kmitočtu s teplotou. Na běžci kompenzačního potenciometru dostáváme teplotně závislé protinapětí, působící na varikap v opačném smyslu než ladící napětí z potenciometru P_L .

Autor připomíná, že při nalezení přesné teplotní závislosti by bylo možno uvažovat i o tandemovém spojení obou potenciometrů, samozřejmě s rozdílným odporem jednotlivých dráh.



Obr.30. Princip elektronické teplotní kompenzace

Zejména je i vlastní provedení oscilátoru. Je to sice opět typ Clepp, ale v zapojení SE. Zpětná vazba je z kolektoru. To dává značné možnosti v mechanickém provedení, jak uvidíme dále. Základem úspěchu je totiž právě mechanická konstrukce, která zcela jednoznačně vyžaduje dokonalou tepelnou vazbu všech součástek ovlivňujících kmitočet. Týká se to nejen vlastního oscilátoru, ale i druhého stabilizátoru napětí, oddělovacího stupně, samozřejmě termistoru včetně elektronického kompenzátoru atd. Není proto použito spojové desky, ale klasické vzdušné montáže na robustní základní desce z hliníku tloušťky 5 mm.

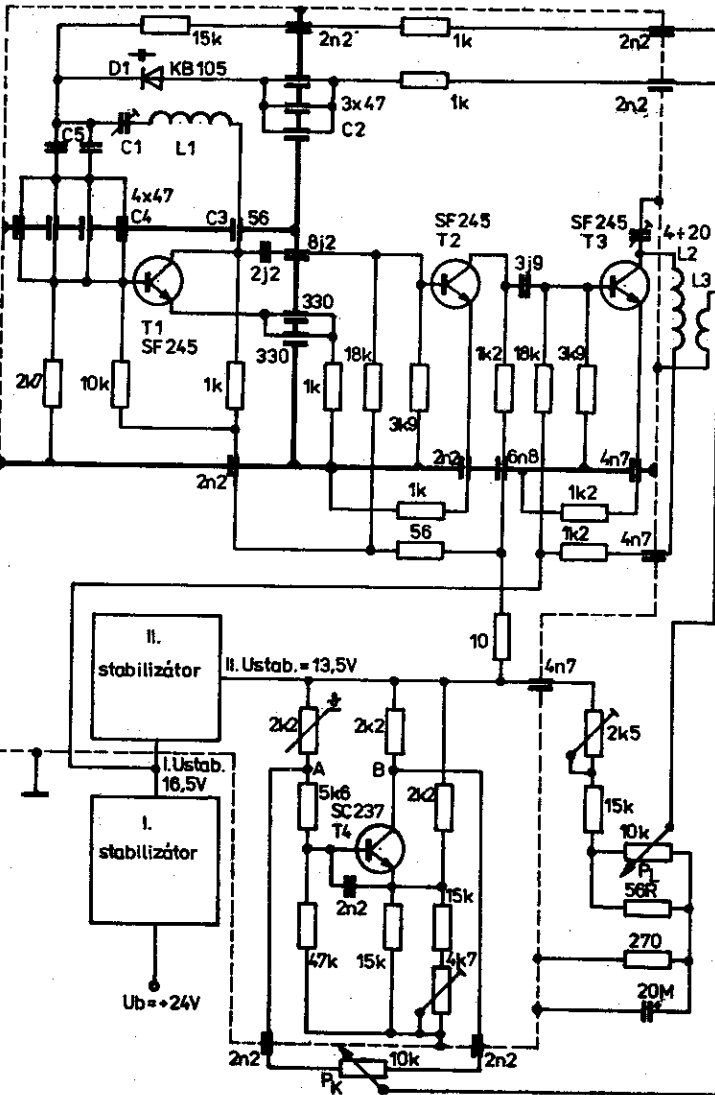
Nabízí se otázka, jak získat příslušné průchodkové kondenzátory malých kapacit, které jsou použity v rezonančních obvodech.

dech právě kvůli dobré tepelné vazbě s podložkou. Zde je možno použít trubičkové keramické kondenzátory staršího provedení /samořejmě Stabilit/, které se zapájejí za vnější páskové přívody do otvorů v mosazném plechu tloušťky 0,5 mm; rozměr plechu i otvory musí být sličovány a svrtány se základní deskou předem. Plech se na několika místech přitáhne k základní desce šroubkou M2, tepelnou vazbu zlepšíme tenkou vrstvou silikonové vazeliny.

Původní konstrukce předpokládá umístění do silnostenné elektroinstalační krebice ze stříkané hliníkové slitiny, která je zřejmě v NDR bežně k sehnání. V našich podmínkách bude nutno použít rukodělnou výrobu, výhoda však bude v tom, že budeme navrhovat krabičku oscilátoru podle rozměrů celého transceiveru a ne naopak.

Skutečné zapojení popisovaného VFO je na obr.31. Kondenzátory kapacitního děliče C3, C4 jsou pro zvýšení tepelné vazby rozděleny na menší kondenzátory. Stejně tak sériová kapacita variáku C2, resp. blokování emitoru. Vývody kondenzátorů tak vytvářejí řadu pevných pájecích bodů. Zvláštní pozornost je věnována laděnému obvodu. Rezonanční kapacita C1 je inkurantní dodávovací trimr na keramice, známý z SK10 apod. /dva terčíky s jemným závitem/. Je použit pro svou vynikající mechanickou stabilitu a možnost upevnění bez velkých parazitních kapacit. Cívka L1 má indukčnost 190 nH, jsou to 4 závity drátu Ø 0,8 mm CuAg. Vnější průměr cívky je 11,3 mm, délka 5 mm. Přívod k C1 má délku 5 mm, přívod na straně C3 15 mm.

Autor zdůrazňuje nutnost upevnění bez zbytečných montážních kapacit, cívka je proto na svém obvodu držena dvěma keramickými montážními úhelníky ve vzdálenosti asi 8 mm od základní desky,



Obr. 31 - VFO na kmitočtu 135 MHz podle Y25AA

a zajištěna zakápnutím lepidlem Epoxy. Důležité je nastavení základní teplotní kompenzace kondenzátorem C5 na střed rozsahu kompenzačního potenciometru. Celkově má C5 být 14 až 16 pF a složí se ze dvou kondenzátorů, z nichž jeden má záporný teplotní činitel, druhý je normální Stabilit N047. Výsledný teplotní činitel bude záležet na poměru obou kapacit této kombinace.

Vazba na oddělovací stupeň je realizována velmi volně kapacitním děličem 2,2/8,2 pF. První oddělovač je proveden obdobně jako oscilátor, s těsnou tepelnou vazbou. Princip kompenzačního stupně byl již popsán. Všechny vš tranzistory jsou SF245. Mají z běžných typů relativně dobré šumové vlastnosti a malou zpětnovazební kapacitu. Tranzistor kompenzátoru SC237 je obdobný našemu KC147.

Ve schématu nejsou uvedeny jednotlivé stabilizátory, ani způsoby přepínání ledicího napětí /půlení pásmo, odskok 600 kHz, offset atd./. Jejich výhody či nevýhody musí každý zvážit sám, případně si opatřit originální pramen [4].

Řada detailů by jistě šla ještě vylepšit - např. použít cívku vpalovanou do keramiky, zmenšit rozsah a tím i vliv varikapu sériovým kondenzátorem a nikoli napětím atd. Uvedený popis je miněn spíše jako námět než návod.

Ještě několik slov o výsledcích dosažených autorem Y25AA. V originálním pramenu [4] uvádí, že při dlouhodobém provozu /přes 24 hodin/ a změnách teploty 13 až 18° C byla výsledná změna kmitočtu menší než ± 600 Hz. Náběh po zapnutí trvá 3 minuty. Potom je dosaženo krátkodobé stability lepší než 250 Hz za 20 minut /drift kolem středního kmitočtu/. Tato stabilita je pro běžný SSB provoz zcela dostatečná, což autor zdůvodňuje

tím, že teprve při odchylce 250 Hz klesá srozumitelnost SSB signálu na 80%. Dále je zdůrazňována nezávislost na změnách napájecího napětí a zátěže, stejně tak i mechanická stabilita, ověřená při mobilním provozu. Spektrální a šumová čistota je hodnocena jako velmi dobrá, bohužel nejsou uvedeny podrobně naměřené výsledky.

Tolik tedy o zajímavém řešení VFO na kmitočtu 135 MHz. Není nutno obzvlášť zdůrazňovat, že dozařená stabilita, postačující pro SSB, je pro FM zcela vynikající. Mnohý čtenář možná namítne, že komplikace spojené s mechanickým řešením lze snáze obdržít použitím jednoduchého fázového závěsu. Není to tak docela pravda. Snaha o dozaření vysokých šumových parametrů oscilátoru nutí dnes konstruktéry řešit i VCO fázových závěsů s co nejvyšší stabilitou, umožňující velmi volnou vazbu servosmyčky; používají se i relativně pomalé elektromechanické systémy k dodlážování VCO. A konečně uvedená elektronická kompenzace, spolu s koncepcí mechanické konstrukce, je jistě dobře využitelná i pro VFO na nižších kmitočtech. Tím se dostáváme k další skupině oscilátorů.

2.5 SMĚŠOVACÍ SYNTZÁTORY KMITOČTU /VPX/

Tento způsob používá k tvorbě vysokého řídícího kmitočtu přímé směšování; obvykle směrem vzhůru, tzn. že z nižších pomocných kmitočtů se sčítáním skládá kmitočet výsledný.

Základním nedostatkem přímé syntézy je vznik nežádoucích produktů při směšování. Při praktické konstrukci je nutno používat

v cestě signálu poměrně komplikované filtry a uvážlivě volit výchozí kmitočty.

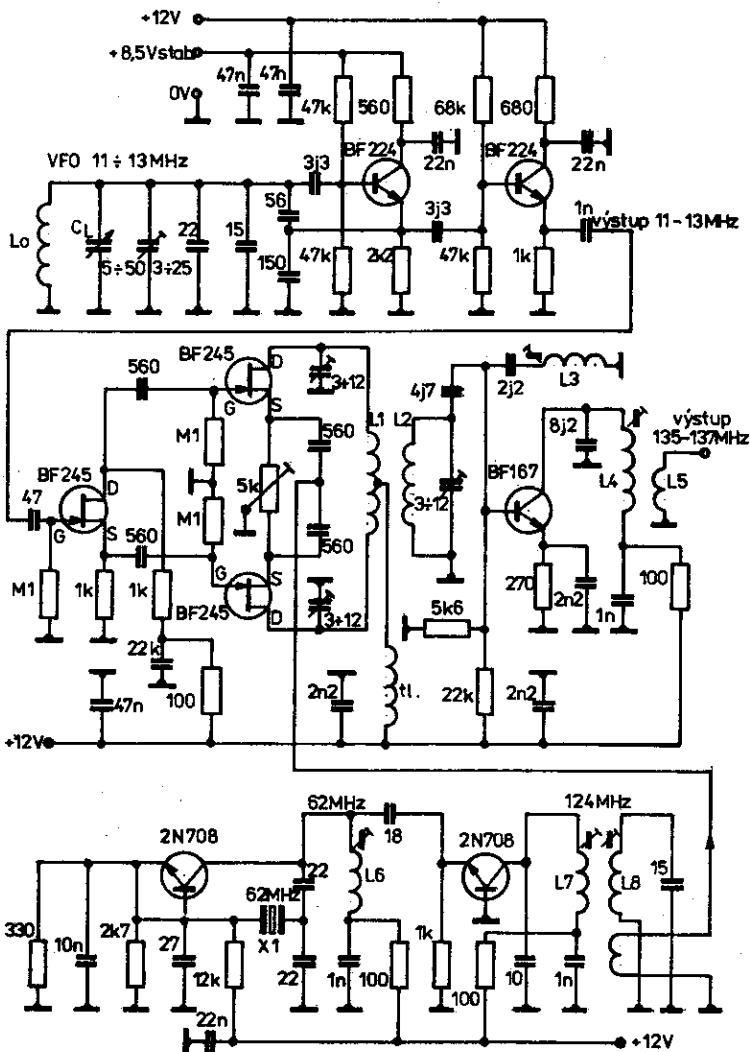
Příkladem amatérského řešení je tzv. Super VFO /VFX/ s plynulým laděním na obr.32. Zapojení bylo používáno spíše v technice AM a je uvedeno pouze pro úplnost.

2.6 KMITOČTOVÉ SYNTEZÁTORY S PÁZOVÝM ZÁVĚSEM

Tímto způsobem je dnes řešena většina kmitočtových ústředen. Porovnání kmitočtů fázovým detektorem se spravidla provádí na jiném kmitočtu než pracovním. Výběr pomocných kmitočtů lze uskutečnit tak, aby případné nežádoucí produkty bylo možno potlačit jednoduchou filtrací. Typickým znakem je postup od vyšších kmitočtů k nižším, na kterém se teprve provádí fázové porovnání. Proto je tato metoda označována též starším termínem kmitočtová /frekvenční/ analýza. Základní pojmy si vysvětlíme na skupinovém schématu obr.33.

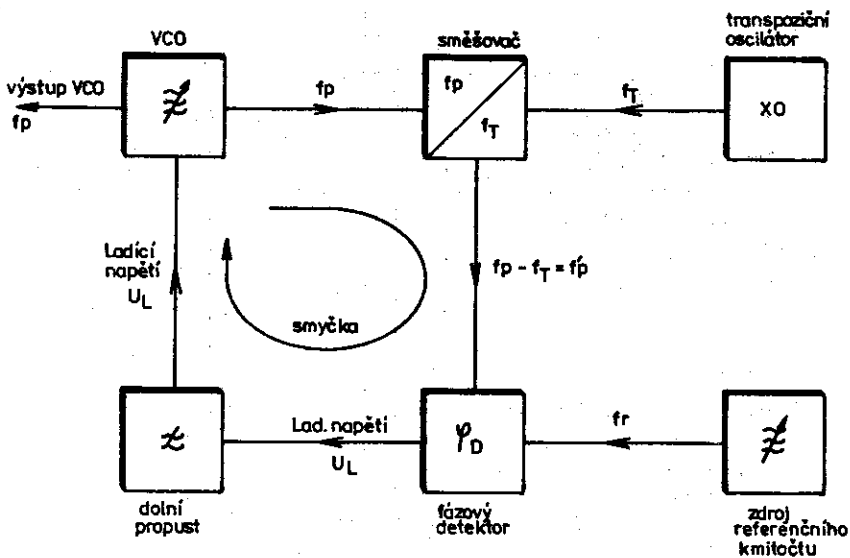
Napětím řízený oscilátor /VCO/ pracuje na "vysokém" /např. 135 MHz/ pracovním kmitočtu f_p . Směšováním se signálem f_t z pomocného transpozičního oscilátoru XO vzniká rozdílový kmitočet f' . Ten je porovnáván ve fázovém detektoru se stabilním referenčním kmitočtem f_r . Na výstupu fázového detektoru je stejnomořně ledící napětí, jehož velikost je úměrná rozdílu fáze kmitočtů f' a f_r . Toto napětí po průchodu dolní propustí dolaďuje kmitočet VCO tak, aby rozdíl fázi kmitočtů f' a f_r byl nulový /nebo alespoň konstantní, např. 90°/.

Z vyobrazení je patrné, že postupující signál vytváří uzav-



Obr.32. Super VFO /VFX/ DJ5HD

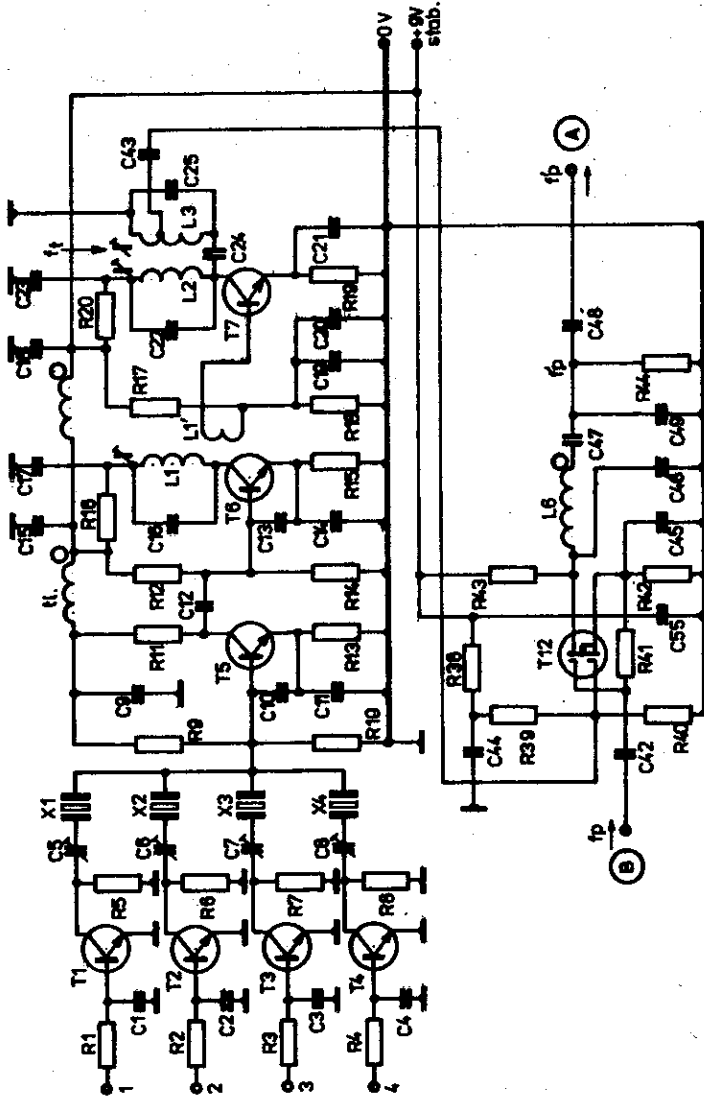
řenou smyčku. Z toho anglický název "phase locked loop" - PLL, čili fázově uzavřená smyčka.



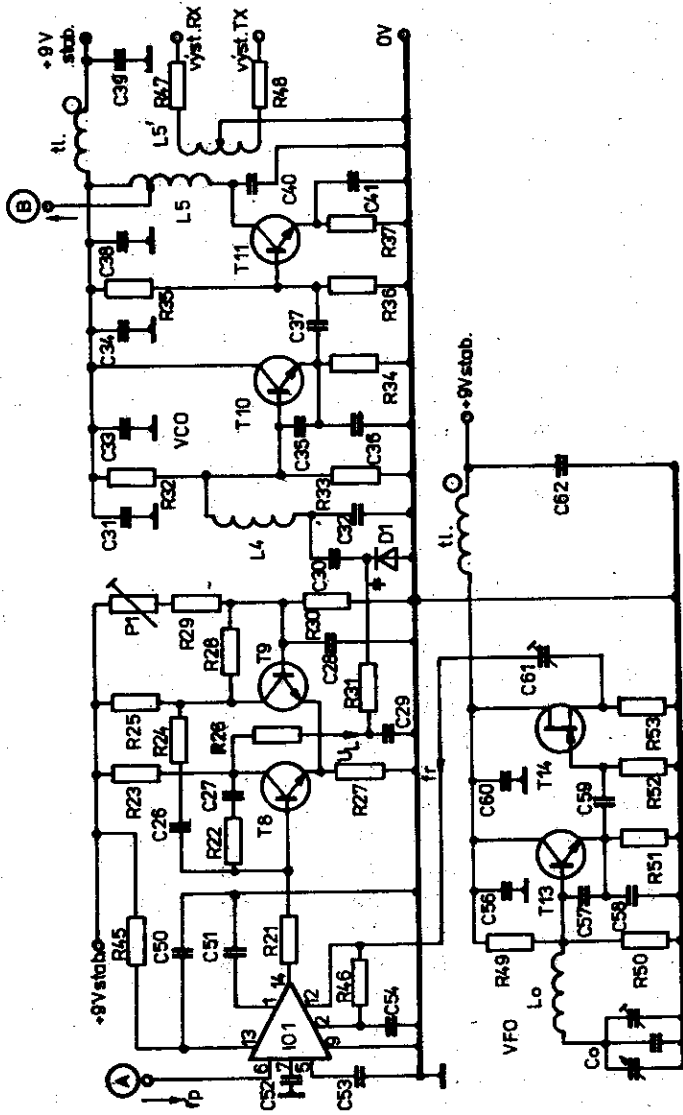
Obr.33. Skupinové schéma jednoduchého fázového závěsu s transpozicí kmitočtu

Jednou z prvních kmitočtových ustředen na principu fázového závěsu, uveřejněných v naší radicamatérské literatuře, bylo tzv. zapojení FA-1 od OKIDAP. Jeho modifikace podle OK2JI je na obr. 34a/ a 34b/.

Transpoziční kmitočet f_t je získáván násobením kmitočtu krytalového oscilátoru, osazeného tranzistorem T5 ve stupních násobičů T6 a T7. Pásmová propust /L2, L3/ na výstupu řetězu násobičů potlačuje všechny ostatní kmitočty kromě transpozičního f_t . Frekvenci kmitočet f_p z VCO je s kmitočtem f_t směšován v tran-



Obr. 34/ Klikatková ustádka Ondřejov 082J1 - část transpozice limitodru



Obr. 24b/ Kmitočtové ustrojení OK2JII - kmitočtový zdroj, VCO a VFO

Seznam součástek k obr. 34a/, b/

R1	- 3k9	R15	- 560R	R29	- 18k	R43	-	1k2
R2	- 3k9	R16	- 120R	R30	- 18k	R44	-	1k
R3	- 3k9	R17	- 12k	R31	- 12k	R45	-	100R
R4	- 3k9	R18	- 2k7	R32	- 39k	R46	-	1k
R5	- 5k6	R19	- 560R	R33	- 22k	R47	-	33R
R6	- 5k6	R20	- 2k7	R34	- 560R	R48	-	33R
R7	- 5k6	R21	- 10k	R35	- 10k	R49	-	27k
R8	- 5k6	R22	- 390R	R36	- 3k9	R50	-	33k
R9	- 68k	R23	- 3k3	R37	- 1k	R51	-	1k5
R10	- 18k	R24	- 22k	R38	- 1k	R52	-	56k
R11	-820R	R25	- 3k3	R39	- 4701	R53	-	560R
R12	- 18k	R26	- 4k7	R40	- 47k	P1	-	6k8
R13	-820R	R27	- 2k7	R41	- 100k			
R14	- 2k7	R28	- 68k	R42	- 1k			

C1,2,3,4	- 6n8	C22	- 5p6	C35	- 68	C49	-	5p6
C5,6,7,8	- 10/40	C23	- 6n8	C36	- 3k9	C50,52	-	47n
C9	- 22n	C24	- 1p	C37	- 4p7	C51	-	100n
C10	- 82	C25	- 10p	C38	- 2n2	C53,54	-	47n
C11	- 180	C26	- 10M	C39	- 6n8	C55	-	100n
C12,13	- 100n	C27	- 150n	C40	- 5p6	C56	-	10n
C14	- 6n8	C28	- 1M	C41	- 2n2	C57	-	680
C15	- 22n	C29	- 1n	C42,43	- 12	C58	-	390
C16	- 22	C30	- 39	C44	- 1n	C59	-	68
C17,18	- 3n3	C31	- 22n	C45	- 6n8	C60	-	10n
C19	- 6n8	C32	- 10p	C46	- 5p6	C61	-	10/40
C20	- 2n2	C33	- 2n2	C47	- 6n8			
C21	- 3n3	C34	- 6n8	C48	- 56			

D1 - KB105G

T1,2,3,4 - spínací /nepř. KSY62/

T5,6,10,11 - KF525

T13	- BF224, BF184, SF245
T7	- KSY71
T8,9	- KC509
T14	- BF245C
T12	- 40673
I01	- MAA661

Krystaly X1,2,3,4 upravené B100 a B000 z RM31

Všechny indukčnosti jsou vinuty na cívkových těliskách Ø 5 mm

- L₁ - 8,5 závitů drátem Ø 1 mm CuAg, délka vinutí 16 mm, jádro NO1P.
 - L_{1'} - 1 záv. drátu Ø 0,5 mm v silik. bužírce mezi závity L₁.
 - L₂ - 6 záv. drátem Ø 1 mm CuAg, délka vinutí 10 mm, jádro NO1P.
 - L₃ - stejná jako L₂, odbočka na prvním závitu od stud. konce.
 - L₄ - 5,5 záv. drátem Ø 1 mm CuAg, délka vinutí 11 mm, jádro NO1P.
 - L₅ - 5,5 záv. drátem Ø 1 mm CuAg, délka vinutí 12 mm, jádro NO1P.
 - L_{5'} - 2 x 1 závit drátem Ø 0,5 mm v silik. bužírce mezi závity L₅.
 - L₆ - 18 závitů drátem Ø 0,4 mm CuLH na toroidu Ø 10 mm z hmoty Ni /asi 30 µH/.
- tlumivky tl - asi 20 záv. drátem Ø 0,35 mm CuLH na toroidu Ø 6 mm z hmoty Ni /možno použít i nf materiály H22, H11, H6/.

Kmitočtový rozvrh:

Mf kmitočet - 6670 kHz /krystaly B10 z RM31/

VCO: 150,67 až 152,67 MHz VFO: 8,57 až 9,57 MHz

Kmitočty krystalů a vynásobených transpozičních kmitočtů:

1. B000 - 7894 kHz x 18 = 142,1 MHz - rozsah 144 až 145 MHz
 2. B100 - 7950 kHz x 18 = 143,1 MHz - rozsah 145 až 146 MHz
 3. B000 - 7916 kHz x 18 = 142,5 MHz - odskok 600 kHz
 4. B000 - 7900 kHz x 18 = 142,2 MHz - odskok 900 kHz
- Kmitočty krystalů jsou chemicky posunuty.

zistoru Tl2, na výstupu směšovače získáváme kmitočet f_p' , který prochází ještě dolní propustí L6, C46, C49, která potlačuje kmitočty nad 10 MHz. Pro směšování volíme co nejnižší úroveň signálu. Signál ze směšovače je totiž v bodě A přiváděn na vstup omezovacího zesilovače MAA 661 se ziskem 60 dB, který snadno zajistí potřebný rozkmit pro fázový detektor. Se stejným ziskem ovšem zpracuje i nežádoucí kmitočty – proto je kladen důraz na čistotu transpozičního signálu f_t ještě před směšováním na Tl2 /viz propust L2, L3/.

Pro fázové porovnání je využit koincidenční detektor obasazený v IO MAA661. Referenční kmitočet f_r z plynule laděného VFO je přiváděn na vývod 12. Na výstupu 14 integrovaného obvodu je výstupní napětí fázového detektora U_{reg} . Filtr smyčky je řešen jako aktivní s diferenciálním zesilovačem T8/T9 a dvojitým členem RC R22/C27/R21.

Protože koincidenční detektor MAA661 pracuje výhradně jako fázový a má úzké pásmo zachycení, je zapojení doplněno rampovacím /"chytacím"/ obvodem. Při ztrátě fázové synchronizace dojde k "rozbalancování" diferenciálního zesilovače, který pak pracuje jako multivibrátor. Napětí na kolektoru T8 má pak tvar pily a prosláduje VCO tak dlouho, dokud nedojde k dosažení synchronizace /člen RC R24/C26/.

Velmi dôležité z praktického hlediska je, aby kondenzátory v obvodu regulační smyčky /zejména v aktivním filtru/ byly kvalitní. Vyhneme se použití blokovacích kondenzátorů s nelineárním dielektrikem /TK 782, TK 783/.

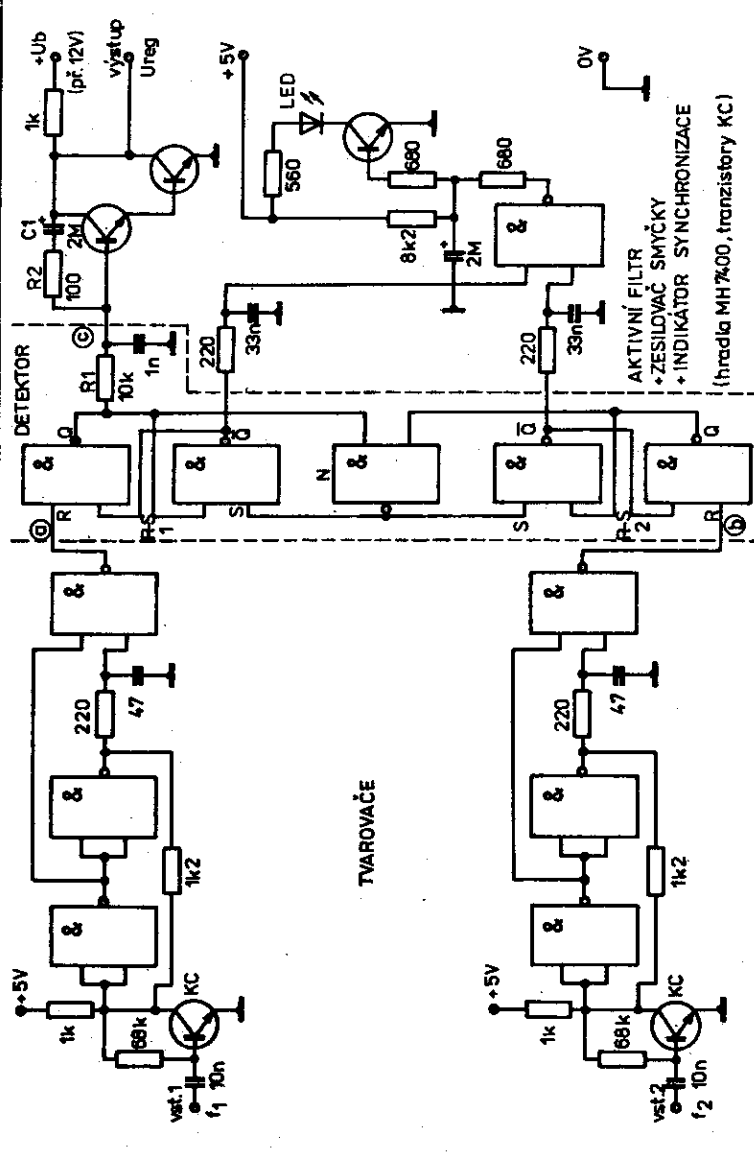
Určitý kvalitativní předěl znamená v technice fázových závesů zavedení fázově kmitočtového detektoru. Např. fázově -kmi-

točový detektor Hewlett - Packard byl v naší radicamatérské literatuře popsán pod označením PA-2. Schéma zapojení je na obr. 35.

Vstupní porovnávané signály f_1 a f_2 jsou po zesílení tvarovány ve Schmittově obvodu, spojeném s monostabilním obvodem vytvářejícím krátké impulsy a log. úrovní L a dobou trvání řádově stovky ns. Ty jsou přiváděny na vstupy vlastního detektoru /body a, b/. V podstatě se jedná o dva klopné obvody R-S, nastavované vstupními impulsy a nulované společně v okamžiku, kdy se na jejich výstupech objeví úroveň H. Obvod, který dostal vstupní L impuls jako první, překlopí a na jeho výstupu bude H až do příchodu impulsu L na druhý obvod. Ten se tímto impulsem též překlopí, ale vzápětí se oba obvody zpětně vynulují hradlem N. Na jejich výstupech Q a \bar{Q} jsou tedy buď jen krátké impulsy, nebo obdélníkový signál s proměnným impulsním poměrem. Po odfiltrování složek vstupních kmitočtů je na výstupu detektoru C /na integračním kondenzátoru ln/ stejnosměrné napětí s uniformní rozdílu fáze vstupních signálů. Jsou-li různé i jejich kmitočty, zapojení pracuje jako kmitočtový detektor s tím výsledkem, že obvod s vyšším vstupním kmitočtem dává větší výstupní napětí. Další předností je, že nedochází k nežádoucí synchronizaci na harmonických /supharmonických/ kmitočtech a lze tak pracovat v širším kmitočtovém rozsahu /až 1 : 2/.

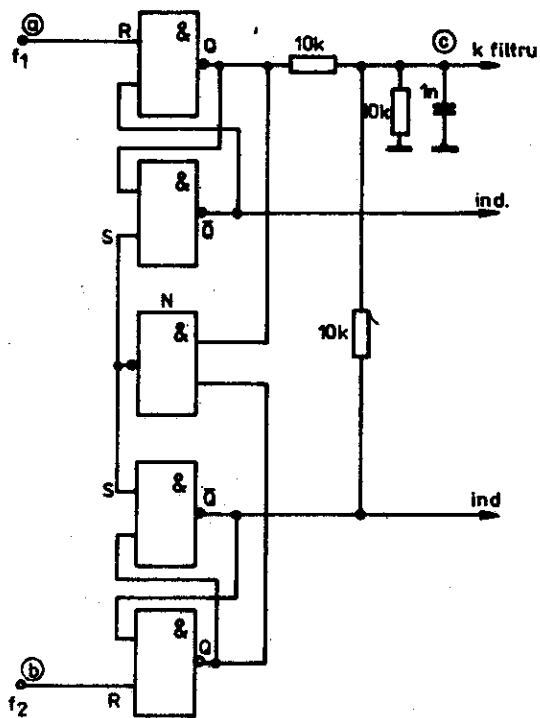
Za detektorem následuje zesilovač a aktivní filtr se dvěma tranzistory v Darlingtonově zapojení. Filtr pracuje s tzv. "dvojitou" časovou konstantou, určenou členem R1/C1/R2. Z doplnkových výstupů detektoru je řízen indikační obvod. Dioda se rozsvítí při ztrátě synchronizace.

Určitým problémem, vyplývajícím z použití TTL obvodů, je



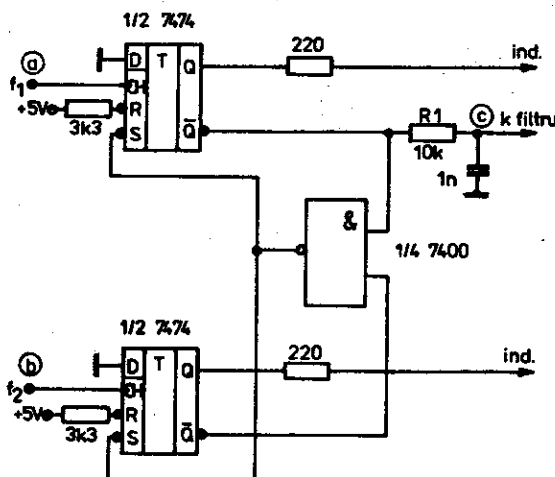
Obr. 35. Fázově-lmitočkový detektor Hewlett-Packard /PA-2/

relativně vysoká výkonová složka impulsů, která se projeví formou rušení do obvodu regulační smyčky. Tento jev lze omezit snížením šířky impulsů před filtrem na minimum, tj. pracovat v režimu, kdy je v ustáleném stavu rozdíl fází vstupních kmitočtů blízký nule /oproti původnímu provedení, udržujícímu ustálený stav při rozdílu fází asi 90° / . Rozdílu fází okolo nuly bude odpovídat tedy i podstatně menší šířka impulsů. Vlastní úprava detektoru spočívá pouze v přidání dvou rezistorů k původnímu schématu zapojení a je naznačena na obr.36.



Obr.36. Úprava fázově-kmitočtového detektoru H-P

Klopné obvody R-S sestavené z NAND hradel lze u detektoru nahradit využitím klopních obvodů D, jak naznačuje obr.37.

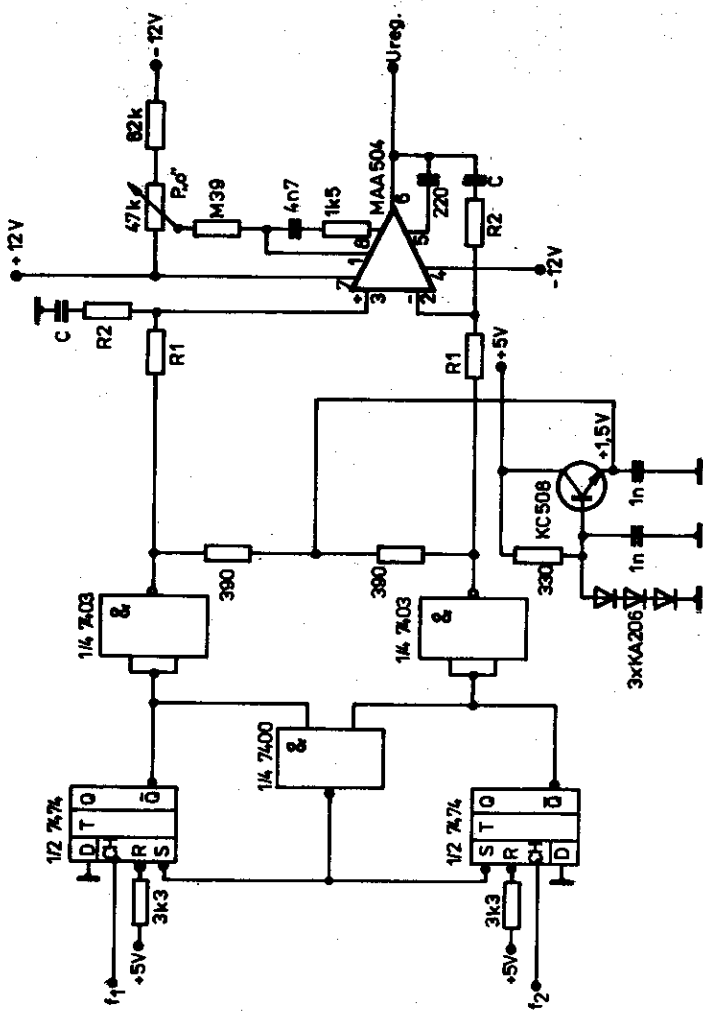


Obr.37. Fázově-kmitočtový detektor s klopními obvody D

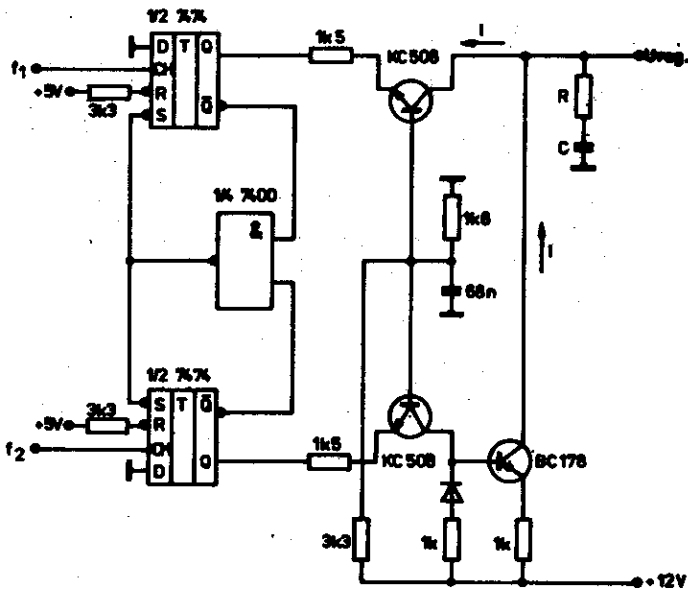
Na obr.38 je zapojení detektoru se zdroji napětí s aktivním filtrem s operačním zesilovačem, kterým je nahrazen integrační člen. Potenciometrem P_0 se nastavuje stav, při kterém jsou oba kmitočty porovnávány při nulovém fázovém rozdílu.

Nebíjení a vybíjení kondenzátoru korekčního členu lze též řídit pomocí zdrojů proudu. Příklad takto pojatého zapojení je na obr.39. Vyvážené zapojení potlačuje soufázové rušivé složky v obvodu regulační smyčky, a patří mezi detektory, využívající tzv. "čerpání náboje".

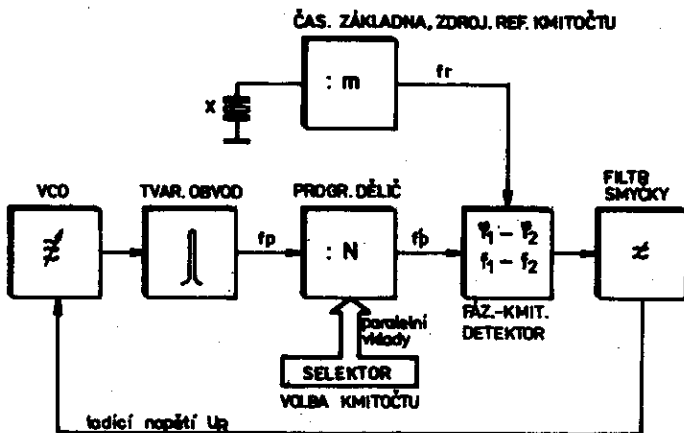
Pro techniku kmitočtové modulace mají největší význam kmitočtové syntezátory s číslicovou volbou požedovaného kmitočtu /kanálu/. Základní princip je na skupinovém schématu obr.40.



Obr. 35. Fárově-limitovaný detektor s integrátorem realizovaným operacním zesilovačem



Obr.39. Fázově-kmitočtový detektor se zdroji proudu



Obr.40. Skupinové schéma fázového závěsu s programovatelnými děliči

Časová základna vytváří impulsy o stabilním porovnávacím kmitočtu f_p . Signál z VCO je tvarovacím obvodem upraven na číslicový a přiveden do programovatelného děliče, jehož dělící poměr N lze jednotkou volby kmitočtu svolit jako potřebné celé číslo. Výsledný signál f'_p je porovnáván se signálem f_p ve fázově kmitočtovém detektoru a získané ladící napětí U_{reg} došlouje VCO tak dlouho, až je dosaženo shody $\psi_1 = \psi_2$. Programovatelný dělič může pracovat jako dekadický, to znamená, že příslušnými ovládacími prvky /přepínači/ v jednotce volby kmitočtu můžeme postupně nastavovat jednotky, desítky, stovky MHz resp. MHz až do kmitočtové hranice dané vlastnostmi děliče. Můžeme však vybírat i pouze předem svolaná čísla N pomocí diodové matice nebo speciálně upravených přepínačů. Toto řešení je právě vhodné pro radiostanice FM - volba kanálů.

Při praktické konstrukci jsme často omezeni mezním kmitočtem použitych děličů, takže nelze přímo spracovávat signál VCO na vysokém kmitočtu. V takovém případě je možné převádět signál VCO do nižší polohy směšováním se signálem transpozičního oscilátoru, podobně jak bylo naznačeno na obr.33. Další možností je předdělení signálu pomocí rychlé děličky /prescaler/.

Použití TTL obvodů přináší nemalé potíže z důvodu značné úrovně rušení vnášeného do obvodu regulační smyčky. V případě kanálové volby, kdy referenční kmitočet zůstává konstantní, lze toto rušení omezit tím, že filtr řešíme jako výřezový, laděný na referenční kmitočet f_p . Nejschůdnější cestou je použití dvojitěho článku T. Je třeba dbát též na vhodné stínění a blokování, aby se rušivé impulsy nemohly šířit jinou cestou, např. po přívodech napájení. Relativně značný odběr omezuje použití ob-

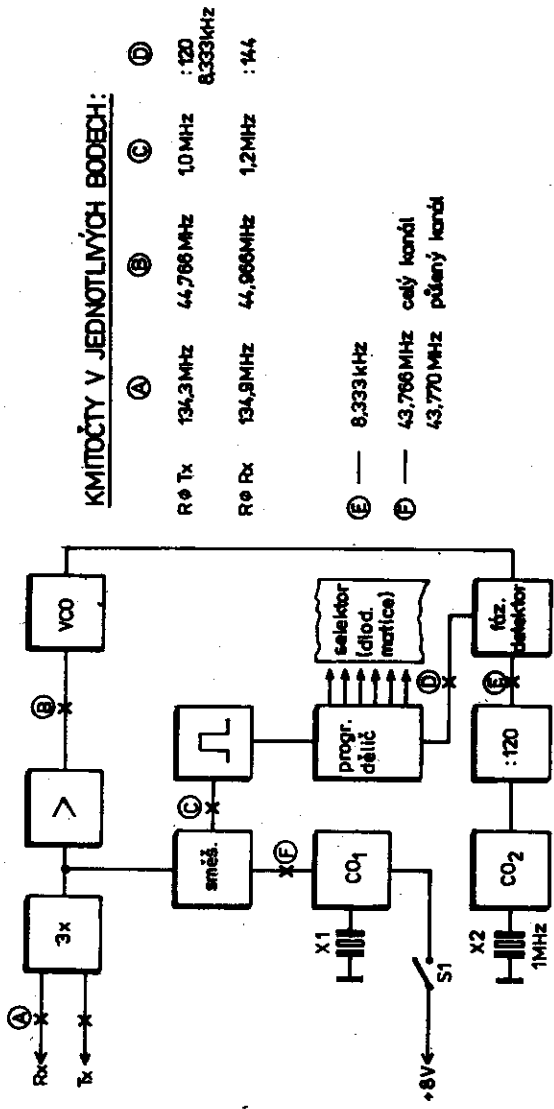
vodů TTL na stacionární, nenejvýš pak vozidlové radiostanice. Do lehkých přenosných stanic se vůbec nehodí.

Možnost schůdného amatérského řešení nabízí teprve využití logických obvodů CMOS s malou spotřebou a tudíž i nepatrnou úrovní rušení. Jediným omezujícím faktorem je všeobecně nižší hranice kmitočtů, ve které tyto obvody mohou pracovat. Tento nedostatek však lze řešit konverzí na nižší kmitočty podobně jako u již uvedených příkladů.

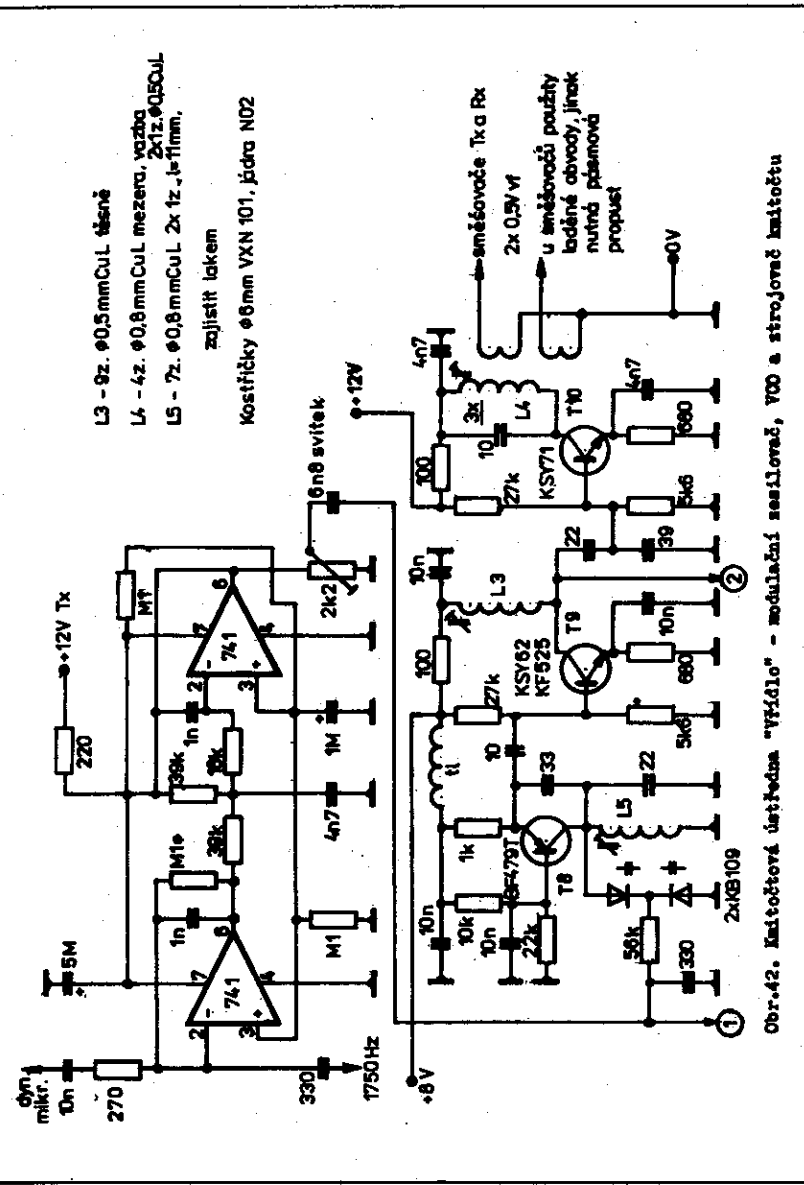
Příkladem úspěšné aplikace dostupných CMOS obvodů je kmitočtová ústředna karlovarského transceivru "Vřídlo" v úpravě OKLAFQ uvedená na obr.41 až 45. Z důvodu využití inkurantních krystalů a snadnějšího zpracování výsledných kmitočtů obvody CMOS nepracuje ústředna přímo na vysokém kmitočtu 135 MHz, ale na jeho třetině, tj. 45 MHz. Požadovaný řídící kmitočet v oblasti 135 MHz se získává násobením kmitočtu VCO ve ztrojovači T10. Stejně tak se násobí ledicí rozsah VCO, modulační zdvih a ledicí krok kanálového rastru. Původnímu rastru 25 kHz bude tedy odpovídat třetinový krok 8,333 kHz a duplexnímu odstupu 600 kHz odpovídá 200 kHz. Podle tohoto výchozího zadání pracuje ústředna následujícím způsobem:

Transpoziční signál o kmitočtu 43,766 MHz, generovaný krystallovým oscilátorem T2 /násobený T3/, je směšován se signálem VCO ve směšovači T4. Signál VCO v kmitočtovém rozsahu 44,766 až 45,083 MHz je tak převeden na pomocný porovnávací kmitočet f'_p v rozsahu 1,000 až 1,275 MHz, snadno zpracovatelný obvody CMOS. Pomocný signál f'_p je zesílen tranzistorem T5 a pro zpracování v číslicových obvodech upraven tvarovačem T6, T7.

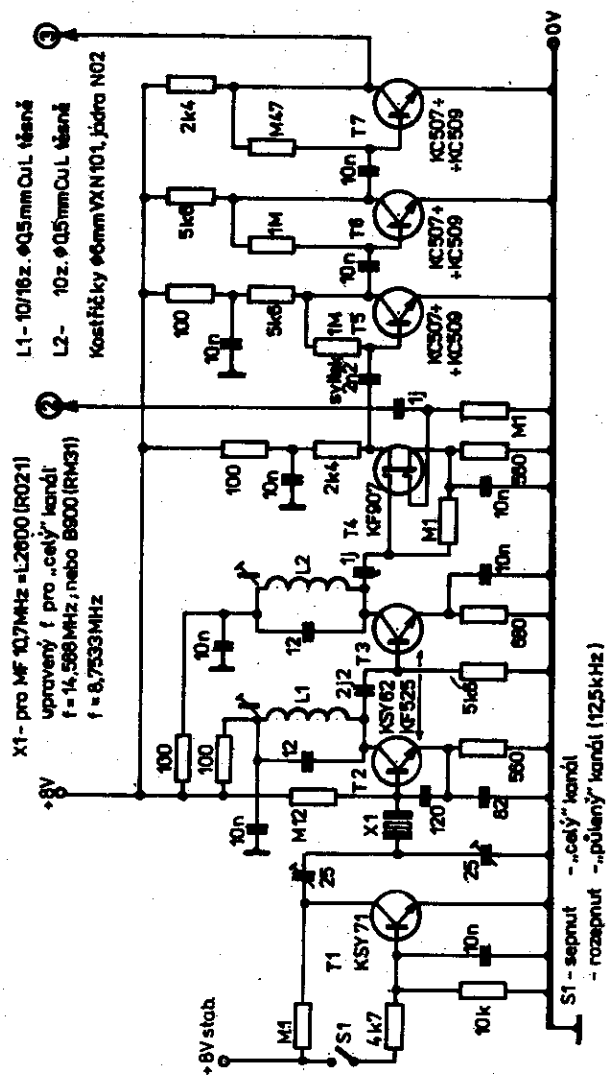
Upravený pomocný signál f'_p je veden na vstup číslicové čas-



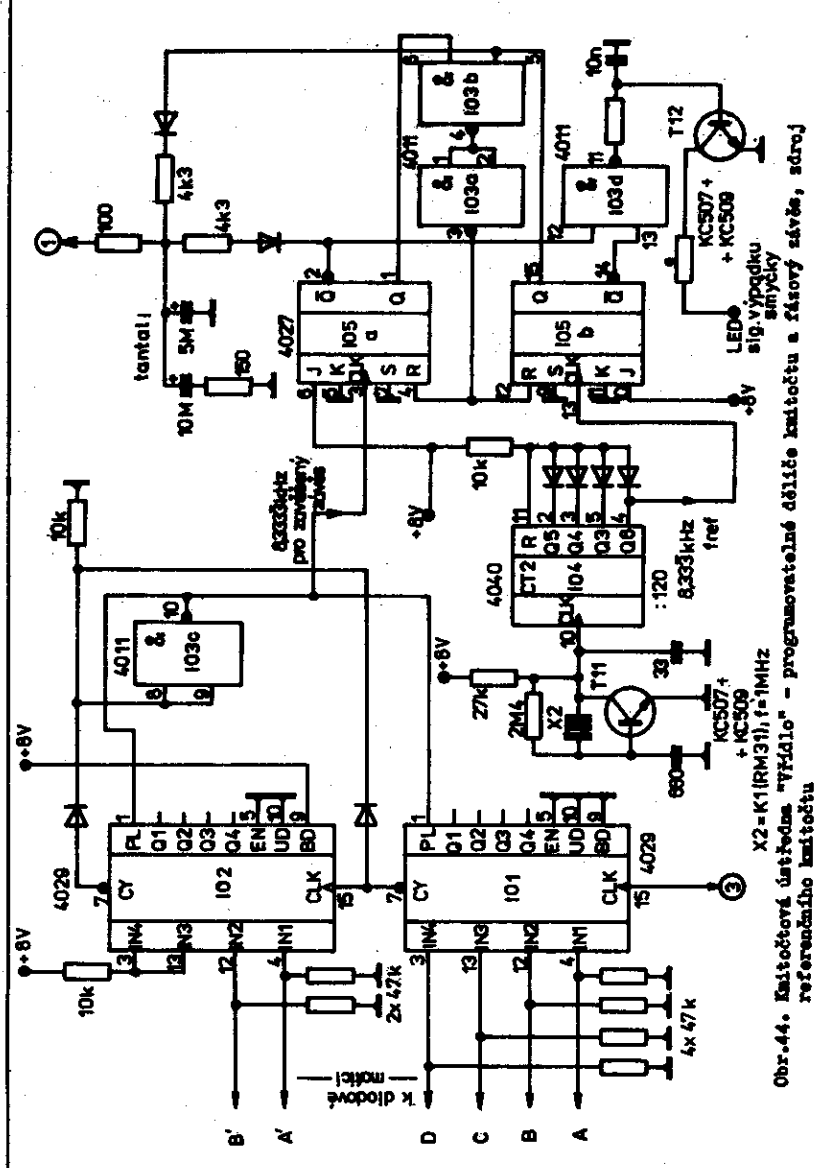
Obr.41. Skupinové schéma kmitočtové ústrojí dvojitého transceivru "MATEO" v úpravě pro DVB-T



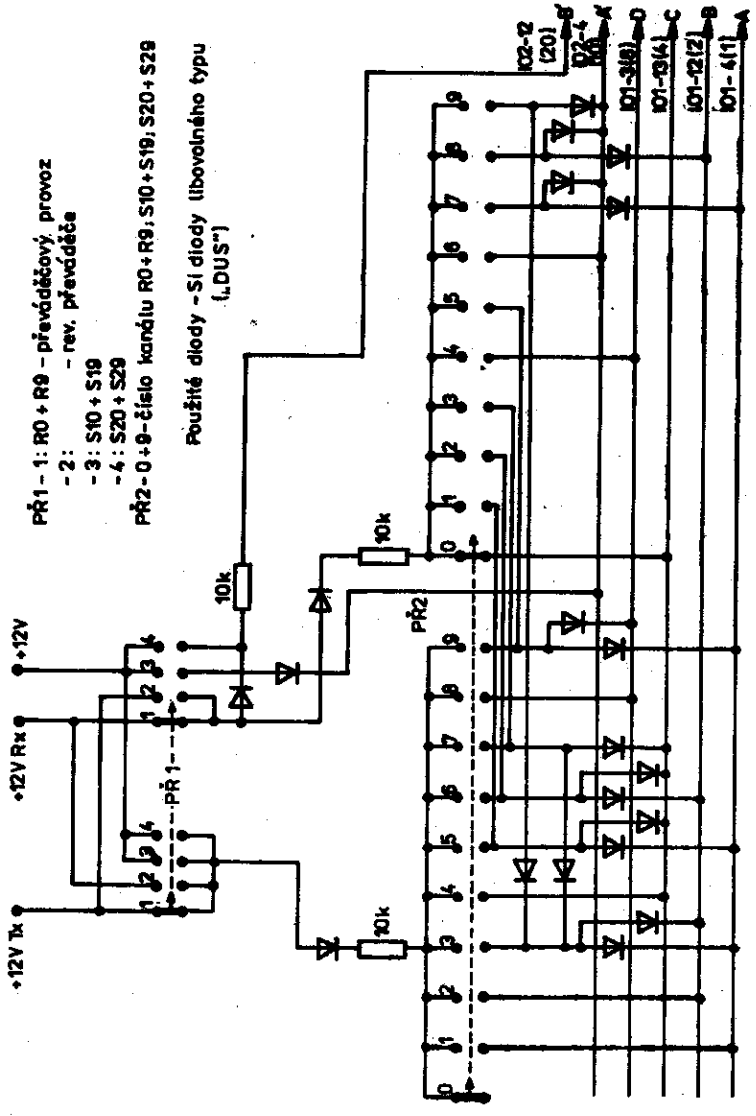
Obr.42. Kmitočtová vlnka vlnky "Vifidlo" - modulacní sesilovad, VOO a strojovac kmitočtu



Obr.4.3. Kmitotová dřatovna "774410" - část transpozice kmitotoku a stavování signálu



Obr. 44. Klikotčový dělič "VH410" – programovatelné dělení hodinového signálu a frekvence sítě, strojek
referenčního kmitání



Obr.45. Kmitotvorová úvodina "typido" - selektor maticid /diodové matice/

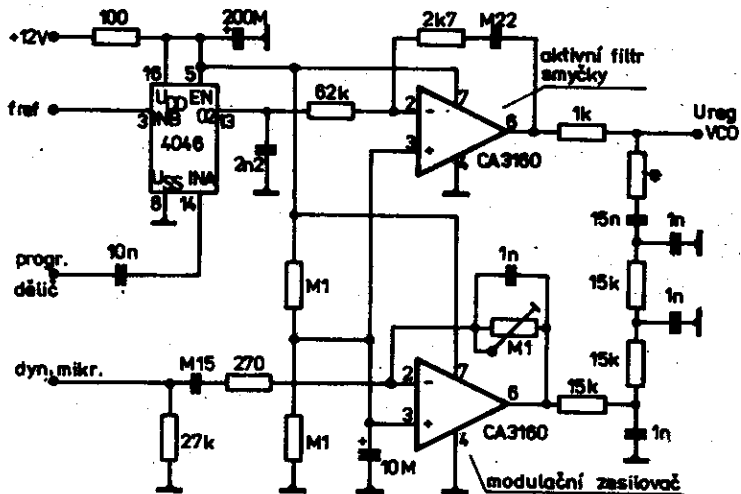
ti - bod 3. Programovatelný dělič je osazen integrovanými obvody CMOS typu MHB4029, z nichž první, IO1, pracuje jako dekadický, IO2 jako binární čítač. Předvolba vstupu /DATA/ se provádí pro jednotlivé kanály diodovou maticí s přepínačem.

Na obr.45 naznačená diodová matici je nakreslena ve stavu přepnutí na začátek rozsahu, tj. 1,000 MHz /kanál R8/. Použití diodové matice v dané koncepci se jeví z amatérského hlediska jako nejochladnější, rozhodně snadnější než opatření vhodného přepínače v kódu BCD. Diodová matici určuje pro daný rozsah příslušný dělicí poměr v rozmezí $N = 120 - 153$ /R8 TX až R9 RX/. Programovatelný dělič tak dělí pomocné kmitočty f_p' odpovídající požadovaným kanálům na kmitočet kanálového kroku 8,333 kHz. Ta-
to hodnota musí být tedy zvolena jako referenční kmitočet f_r , pro porovnání ve fázově-kmitočtovém detektoru.

Zdrojem stabilního referenčního kmitočtu je časová /lépe ře-
čeno kmitočtová/ základna /též obr.44/, ve které je požadovaný referenční kmitočet 8,333 kHz získán dělením z krystalu 1 MHz. Dělicí poměr dvacetistupňové binární děličky CD4040 je v tomto případě zvolen $N = 120$. Samozřejmě postačí i sedmistupňová dě-
lička Tecla MHB4024 a s rezervou pak MHB4020, se kterou se nám značně rozšiřují možnosti co do výběru řidícího krystalu časové základny. Zdaleka není nutno volit "celé" hodnoty kmitočtu krysta-
tu, které jsou nejnadmo dostupné. Lépe je trochu přemýšlet a využít domácích zásob.

Na výstupu základny získáme tedy kmitočet f_r - referenční, na výstupu programovatelného děliče kmitočet f_p' - porovnatelný. Stejně jako u všech fázových závěsů jsou oba kmitočty přivedeny na vstupy fázově-kmitočtového detektoru. Zde použity detektor

je modifikací známého zapojení Hewlett - Packard /FA-2/ s obvody J-K typu CD4027. Je zřejmé, že obdobný detektor lze snadno realizovat i s našimi obvody D typu MHB4013. Ještě vhodnější je aplikovat fázový závěs MHB4046 /obr.46/.



Obr.46. Příklad aplikace fázového závěsu MHB4046

Na výstupu detektoru 1 je smyčka filtrována členem RC s dvojí časovou konstantou. Tím je omezeno rušení referenčním kmitočtem do obvodu smyčky; smyčka je však zároveň natolik pomalá, že umožnuje přímou superpozici modulačního napětí /přivedení modulačního napětí do obvodu varikapu/. Doporučuje se dodržet předepsané součástky v obvodu regulační smyčky, jde o mnohokrát ověřené provedení. Je to důležité proto, aby byla zajištěna základní stabilita regulační smyčky VCO.

Popsaná kmitočtová ústředna se vyznačuje vysokou spektrální

čistotou a její realizace je z amatérského hlediska poměrně ne-máročná. Během doby došlo k některým sjednodušujícím úpravám /obr.45/, spočívajícím v omezení počtu diod v matici při součas-ném rozšíření počtu kanálů. Přesun celého rastru na tzv. polo-viční kanály "x" lze provést nejsnadněji změnou kmitočtu transpo-zičního oscilátoru, jak též naznačuje obr.43.

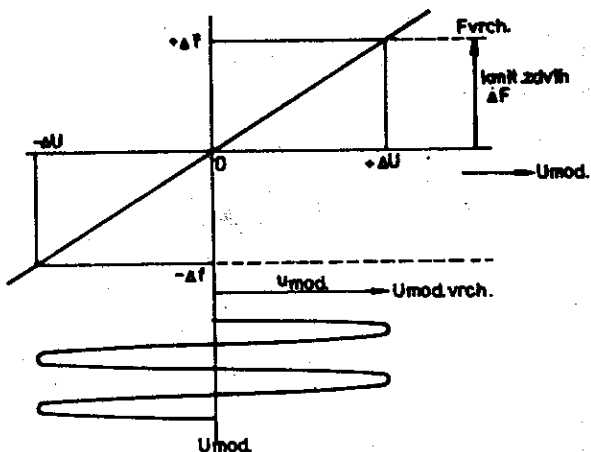
Jednoznačná volba kanálů je zvláště výhodná u mobilních zaří-zení, kdy je nutno počet ovládaných a sledovaných prvků omezit na minimum.

Popisem kmitočtové ústředny "Vřídlo" OK 1 AFQ se uzavírá ka-pitola o zdrojích řídících kmitočtů amatérských FM radiostanic. Modernější řešení s využitím speciálních integrovaných obvodů pro kmitočtové syntezátory bude pro amatéry běžně dostupné po rozšíření sortimentu integrovaných obvodů typů CMOS a ECL.

3. MODULÁTORY FM, MODULAČNÍ ZESILOVACÉ

3.1 ZÁKLADNÍ POŽADAVKY, LINEARITA

Úkolem jakéhokoli kmitočtového modulátoru je převést změny modulačního napětí na odpovídající změny kmitočtu (obr.47). Tato závislost má být lineární. Maximální /vrcholové/ hodnotě modulačního napětí odpovídá tedy maximální kmitočtový zvětšení Δf .



Obr.47. Závislost kmitočtu kmitočtově modulovaného oscilátoru na přiváděném modulačním napětí

V současné době se ke generování signálů úzkopásmové FM používá téměř výhradně přímá kmitočtová modulace pomocí varikapů. Závislost kapacity varikapu na přiloženém napětí U_R v závěrném

směru ovšem není lineární. Lineární není ani závislost kmitočtu na kapacitě laděného obvodu /podle Thompsonova vztahu/ a oba průběhy se vzájemně kompenzují pouze částečně. Pro praxi je vždy směrodatné nalezení této závislosti měřením a je zřejmé, že výsledný průběh se od idealizovaného na obr.47 vždy liší. Důsledkem je větší či menší zkreslení přenášeného signálu.

Modulování oscilátoru LC: Nejjednodušším případem je modulace oscilátoru LC /VFO, VCO/. Zde je kapacita varikapu pouze malým zlomkem celkové kapacity oscilátorového obvodu. Pro získání požadovaného kmitočtového zdvihu se používá pouze malá část převodní křivky napětí/kmitočet, kterou lze ještě považovat za lineární. Velký význam má nalezení optimálního stejnosměrného předpětí /pracovního bodu/ pro varikap. Typickým příkladem je zapojení VFO Boubín /viz obr.23/.

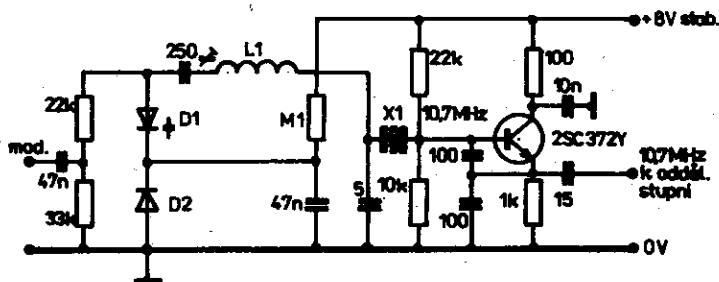
3.2 Využití VCXO pro generování signálu FM

Skutečnosti, že kmitočet VCXO lze řídit přiváděným napětím, se u jednoduchých přístrojů FM využívá k přímé modulaci. Ani zde není závislost změny kmitočtu na změně ladícího napětí varikapu zcela lineární a v některých případech je nutno nelinearity slespoň částečně kompenzovat.

U transceivrů řady TRP, kde je kladen důraz na jednoduchost, se přimodulovává přímo ladící varikap /viz obr.22/. Potřebné nif modulační napětí je velmi malé a mění se v ladícím rozsahu v poměru přibližně 3 : 1. Ke kompenzaci lze do jisté míry použít druhou dráhu ladícího potenciometru /tendemový potenciometr/, nebo řízení zdvihu jiným potenciometrem.

Velmi často se u různých transceivrů s mezifrekvenčním kmitočtem 10,7 MHz moduluje přímo oscilátor 10,7 MHz, který po směšování s kmitočtovou ústřednou vytvoří vysílací kmitočet. Duplexní odstup 600 kHz v tomto případě vytváří kmitočtová ústředna.

Velice známým zařízením u nás je transceiver YAESU FT221R, jehož VCKO pro 10,7 MHz je na obr. 48. Předpětí varikapu je určeno napájecím napětím, dioda D₂ má za úkol kompenzovat teplotní

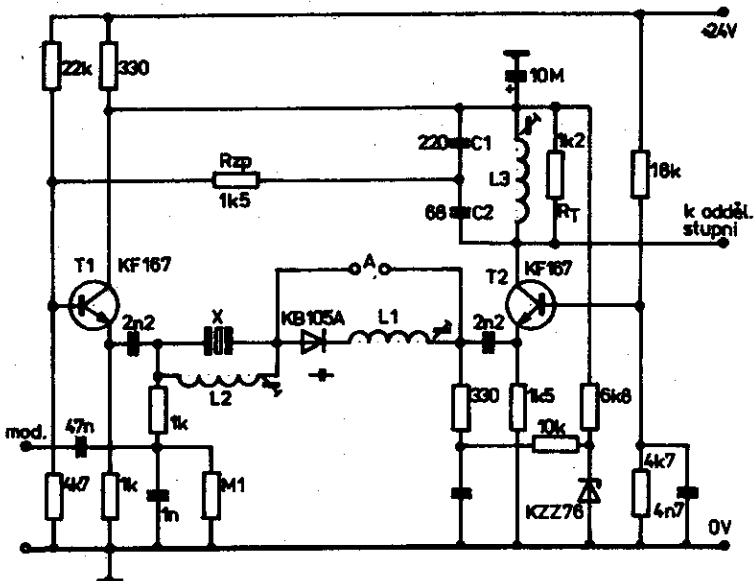


Obr. 48. VCKO 10,7 MHz transceivru FT221R

drift varikapu. Krystal je "tažen" cívkou L1 na rozledění až 20 kHz. Žádná další opatření pro linearizaci převodní křivky použite nejsou a zřejmě to nevedí nikomu, kdo na FT221 vysílá, ani tomu, kdo ho poslouchá.

Modulovalý VCKO 10,7 MHz nepoužívají pouze profesionální výrobci v zahraničí, ale i v tuzemsku. Tesla Pardubice v řadě VR20 používá nekonvenční řešení s tranzistorovou verzí Buttlerova oscilátoru. Pro toto zapojení se objednávají speciální krystaly s parametry vhodnými pro "tahání" /zvýšená statická

kapacita C_0 , úměrně posunutá sériová rezonance/. Zapojení pro kmitočet 10,7 MHz je na obr.49.



Obr.49. VCXO 10,7 MHz /15,2 MHz/ Tesla VH20

Funkce je následující: Tranzistor T2 pracuje v zapojení se společnou bází, laděný obvod v jeho kolektoru je nastaven na pracovní kmitočet 10,7 MHz. Zpětná vazba je vedena z kapacitního děliče C_1/C_2 kolektorového obvodu přes rezistor R_{zp} na bázi tranzistoru T1. U původního Buttlerova oscilátoru je zpětnovazební signál mezi emitory veden přes prostý selektivní člen /krystal/, čímž se zpětnovazební okruh uzavírá. V našem případě je krystal "tažen" cívkou L1 stejně jako u již dříve popsáých VCXO a stejně jako u nich se provádí ladění /v tomto pří-

padě modulace / varikapem, jehož pracovní bod je dán Zenerovou diodou. Takto se získá převodní modulační křivka, byť s určitou nelinearitou. Ke kompenzaci této nelinearity slouží indukčnost L_2 , která tvoří se statickou kapacitou krystalu C_0 paralelní rezonanční obvod. Jeho vhodným nastavením se vytvoří ke křivce dané indukčnosti L_1 křivka inverzní. Zkreslení modulace se tak kompenzuje na hodnotu menší než 2 %. Výpočet celého složeného obvodu je obtížný, v každém případě předpokládá znalost všech hodnot nahradního zapojení krystalu. Proto pro orientaci uvádíme konkrétní provedení obou indukčností podle informací výrobce:

Obě cívky mají 95 závitů drátem Ø 0,06 mm na cívkovém tělisku QA 261 45 Ø 5,5 mm, jádro NO1.

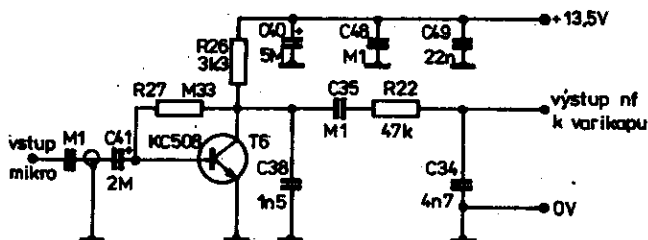
Postup ladění je následující: Body A se skroutují a cívka L_3 se nastaví na maximální výstupní signál. Zkrat se odstraní a cívku L_1 se nastaví rozladění krystalu. Při rozladování pochopitelně střední kmitočet klesá /až o 20 kHz, proto se objednávají krystaly speciálně pro toto zapojení/. Cívku L_2 se nastaví linearity modulační křivky, dlužno ovšem podotknout, že její vliv částečně zmenšuje šířku synchronní oblasti krystalu, který pak má snahu se kmitočtově "utrhnávat". V tom případě je nutno zvýšit spětnou vazbu zmenšením rezistoru R_{zp} , případně zvětšením či úplným vypuštěním tlumícího rezistoru R_t . Nevylučuje se ani možnost změny poměru délky C_1/C_2 ; určitá rezerva je i ve změně předpětí varikapu. Ještě údaj o L_3 - její indukčnost je 15 μH .

V každém případě je vhodné využít základní myšlenky této konstrukce a pokusit se o linearizaci modulační křivky pomocí paralelní indukčnosti ke krystalu i v případě jednodušších VCXO. Popsaný složený obvod používal výrobce už u řady radio-

stanic typu VX. Od typu VR22 se používá VCXO ve formě hybridního integrovaného obvodu.

3.3 MODULAČNÍ ZESILOVAČE

V teoretické části publikace [5] jsme si ukázali, jak spolu souvisí zdvih, maximální modulační kmitočet a celková šířka vysílaného pásma. Pokud vycházíme z předpokladu, že závislost kmitočtu na napětí je lineární /viz obr.47/, musí všechny požadované parametry zajistit modulační zesilovač.



Obr.50. Modulační zesilovač transceivru Boubín 78

. Nejjednodušším modulačním zesilovačem je prostý mikrofonní předzesilovač např. z transceivru "Boubín" obr.50. Nevelké zvýšení asi 15 dB nestačí při původně dodávaném mikrofonu pro dosažení požadovaného zdvihu. Osvědčilo se lépe jako mikrofon používat modrou dynamickou vložku "Temír" nebo telefonní sluchátko typu 4 FE 562 10. Uvedené elektroakustické měniče mají tzv. "telefonní" kmitočtovou charakteristiku, takže šíře nf pásma vychází optimální. V uvedeném zapojení jsou vyšší kmitočty omezeny též kondenzátory C38 a C34. Přenos nízkých kmitočtů

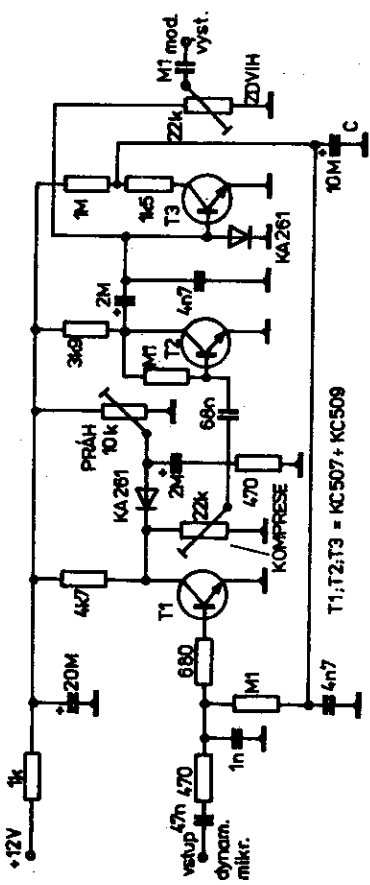
je tlumen zvolenou velikostí vazebních kondenzátorů 100 nF, které zajišťují slespoň částečnou preemfázi signálu.

V technice kmitočtové modulace má důležitý význam nepřekročení předepsaného maximálního zdvihu. Tento požadavek lze řešit různými způsoby.

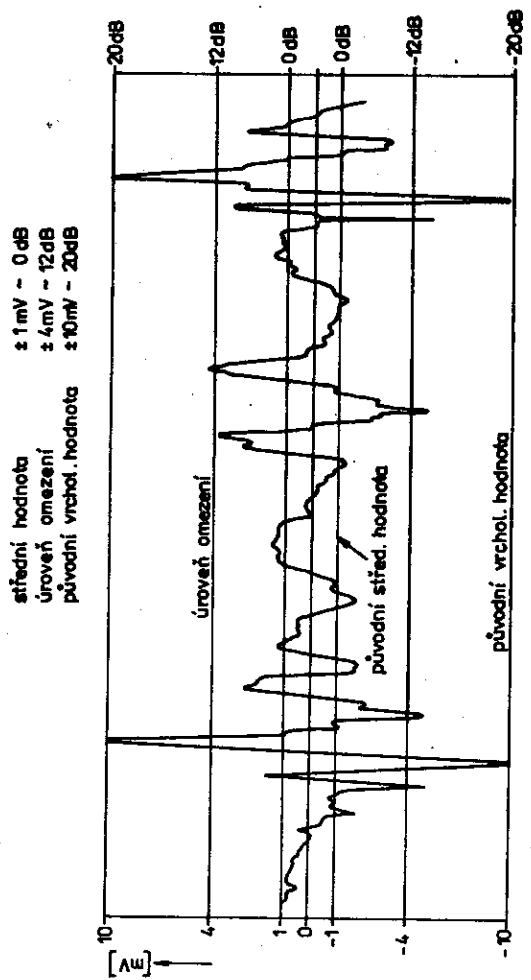
Prvním způsobem je použití kompresoru dynamiky modulačního signálu, druhým použití omezovače dynamiky /v amatérské praxi je nazýván "ořezávač" modulačních špiček - clipper/.

Kompresor dynamiky nastavuje automaticky stále stejnou průměrnou úroveň výstupního mf signálu pro různé velikosti napětí z mikrofonu. Nevhodou kompresoru je skutečnost, že při delších pauzách mezi slovy se "vynořuje" hluk pozadí, dokonce i šum vstupního tranzistoru. Tyto jevy působí nevhodně nastavená odpadová konstanta, je proto účelné doplnit kompresor obvodem, který zajišťuje určitý minimální "práh" přenášených signálů, nebo použít gradientní mikrofon. Zepojení, upravené OKIDAP, je na obr.51. I po úpravě však přetrvává tzv. "polykání" prvních slabik, dané náběhovou konstantou. Protože u uvedeného jednoduchého zapojení spolu náběhová i odpadová konstanta souvisí, je nutný určitý kompromis daný volbou kapacity elektrolytického kondenzátoru C.

Statistickému hodnocení můžeme podrobit i časový průběh hovorového signálu. Při časovém rozvinutí hovorového signálu /obr. 52/ zjistíme, že amplituda špiček přestupuje průměrnou střední hodnotu /1 mV/ o cca 20 dB. Doba, po kterou je okamžitá amplituda vyšší o 20 dB než tato průměrná hodnota, je jen stotisícinou trvání celého hovoru. Součet všech časových intervalů, v nichž amplituda přestoupí průměrnou úroveň o 12 dB, tvoří jen 1 % tr-



Obr. 51. Kompressor dynamiky a prahový obvodem



Obr.52. Časové rozvlnutí horového signálu

vání hovoru. Během 30 % doby hovoru je amplituda řeči 20 dB pod průměrnou střední hodnotou. Je tedy jasné, že omezením špiček hovorový signál na srozumitelností neztratí, i když určitá ztráta věrnosti je logicky pozorovatelná. S rostoucím omezením hovorového signálu stoupá poměr průměrné střední hodnoty k vrcholové, čili pro konstantní povolenou maximální amplitudu /tedy i maximální zdvih/ roste s omezením signálu jeho výkon. Říkáme, že se hovorový signál "energeticky vyplní".

Omezení signálu má za následek vznik nových harmonických, ale též intermodulačních kmitočtů, proto je nutno se omezovač zařadit dolní propust se zlomovým kmitočtem asi 2,4 kHz a poklesem větším než 18 dB/okt. Omezení šíře nf pásma zabrání rozšíření spektra signálu FM a tím i rušení sousedních kanálů.

Protože větší část špiček hovorového signálu spadá do oblasti vyšších kmitočtů /zv. formantů/, má omezení vliv i na jejich poměrné rozšíření. Tím je energetický vliv vyšších kmitočtů v celkovém signálu zdůrazněn a dochází v podstatě automaticky k preemfázi, jejiž účinek se sčítá s preemfázi zavedenou členy RC v modulačním zesilovači před omezením.

Takto "upravený" hovorový signál prokazuje zvýšení hovorové srozumitelnosti asi o 6,5 dB.

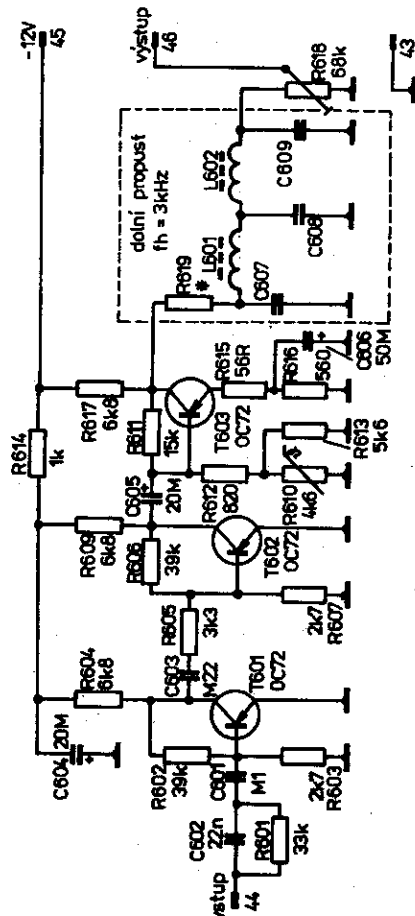
Vzhledem k omezení dynamického rozsahu signálu se ovšem zvyšuje relativní úroveň hluků /pozadí/ stejně jako u řízeného kompresoru. Je proto nutno používat tzv. gradientní mikrofony, které jsou necitlivé na hluk pozadí a je třeba do nich hovořit velice zblízka. Zásadně se nehodí tzv. "Hifi" mikrofony. Příliš vhodné není ani oblíbené telefonní sluchátko 4 FE 562 10. Lepších výsledků lze dosáhnout s modrou dynamickou vložkou "Temir"

a zejména s gradientní vložkou MMD510 Tesly Val. Meziříčí. Vůbec nejlepší je použití sovětské dynamické vložky DEMŠ. Tyto vložky jsou používány v řadě radiostanic VR Tesly Pardubice s vynikajícími výsledky.

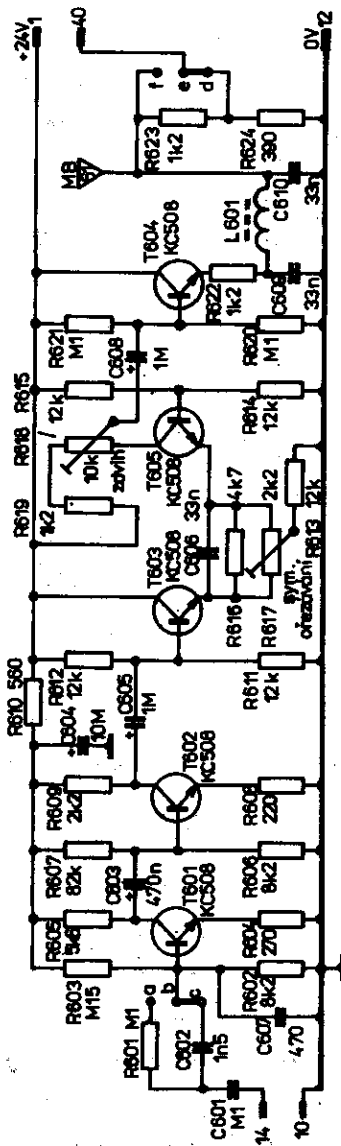
Úpravy hovorového signálu omezováním se u profesionálních radiostanic používá již dříve. Příkladem je modulační zesilovač radiostanice VXW 100, osazený ještě germaniovými tranzistory /obr.53/. Přes jednoduchost zapojení plní všechny uvedené funkce dobře.

Modernější zesilovač pro mikrofon DEMŠ je zesilovač radiostanice VR20 /obr.54/ již s křemíkovými tranzistory. Vstupní signál asi 90 mV na vstupu 14 předpokládá použití mikrofonního předzesilovače se ziskem 20 dB, který je umístěn v ovládací skříni. Propojkami a-b-c se volí preemfáze dle požadované provozní varianty /vozidlová nebo základnová radiostanice, resp. retranslace/. Rozdílový zesilovač T603/T605 plní funkci omezovače amplitudy /"ořezávače" špiček/. Symetrické omezení se nastavuje trimrem R613. Vhodným nastavením lze dostatečně kompenzovat nonlinearitu modulační křivky /varikapu ve VCXO/. Výstupní napětí a tedy i zdvih se nastavuje trimrem R618. Emitorový sledovač T604 slouží k přizpůsobení dolní propusti L601/C609/C610. Počátečné velké výstupní napětí asi 0,7 V je nutné pro modulaci VCXO 10,7 resp. 15,2 MHz.

Některé prvky zapojení obr.54 /rozdílový zesilovač/ přivedějí na myšlenku využití operačního zesilovače. Toto řešení je právě z amatérského hlediska ideální. Vysoké zesílení, samočinné omezení a snadná možnost úpravy kmitočtové charakteristiky předurčují tyto obvody k využití v modulačních zesilovačích.



Obr. 53. Modulární sestava vym.

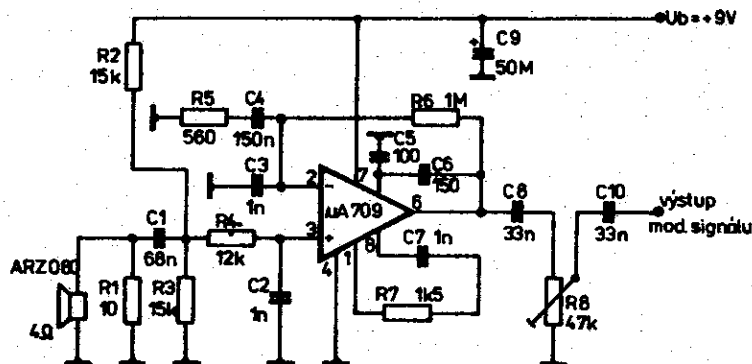


vstup 14 : = 90 mV
 bod b (báze T801) : = 5 mV
 báze T802 : = 50 mV
 báze T803 : = 330 mV
 báze T804 : = 1 V
 MBB1 : = 0.7 V

propoj. b - c : premítací $\times 8 \text{dB}/\text{dkt}$
 propoj. a - b : bez premítací^a
 propoj. d - e - f : dle požad. výst. mod. napětí^b

Obr. 54. Modulaciční zesilovač V920

Základní zapojení na obr.55 je použito v transceivru TRP. Předpětí /umělý střed napájení zesilovače v asymetrickém zapojení/ je určeno děličem R2/R3. Jako mikrofon se používá reproduktor, je tudíž nutné jeho nežádoucí rezonance tlumit rezistorem R1. Základní preemfáze je dána velikostí kapacit C1 a C8.



Obr.55. Modulační zesilovač transceivru TRP

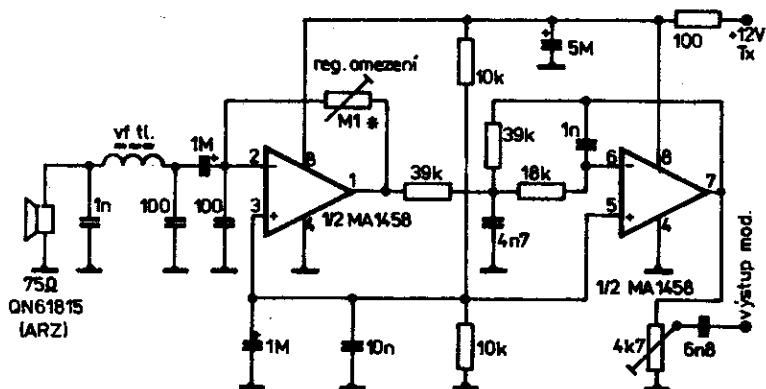
Je ovlivněna i celkovou kmitočtovou charakteristikou. Tato je určena především členem R5/C4 v obvodu invertujícího vstupu /záporná zpětná vazba/, ale i kompenzačním členem R7/C7 s děličem C5/C6. Úroveň omezení je možné měnit rezistorem R4 - protože však na výstupu není z prostorových důvodů zefazena účinná dolní propust, nedoporučuje se volit příliš vysoký stupeň omezení /nejvyšše do 10 dB/ a rozširovat tak vysílané spektrum.

Rozkmit výstupního napětí nemůže přesáhnout hodnotu napájecího napětí. Vstupy jsou proti děrce v blokovány kondenzátory C2, C3, zdvih se nastavuje až na samotném výstupu /trimr R8/.

Ještě výhodnější pro využití v modulátorech je operační ze-

silovač MAA741 nebo dvojice těchto operačních zesilovačů MA1458.

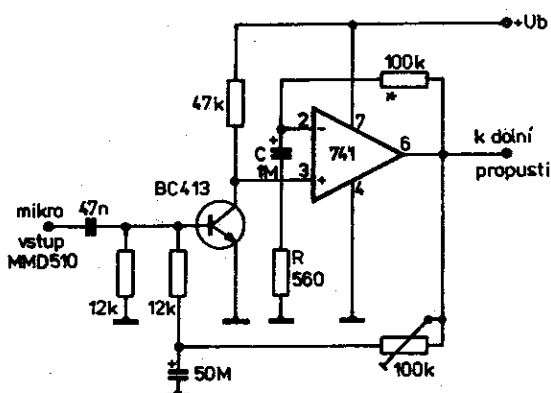
První OZ plní vlastní funkci modulačního zesilovače a omezovače, druhý OZ je zapojen jako aktívni dolní propust. Modulátor na obr.56 je použit v transceivru OKLAQ "Vřídlo".



Obr.56. Modulační zesilovač transceivru "Vřídlo"

Když používáme obzvláště nesitlivé gradientní mikrofony s malým výstupním napětím, může se stát, že i plné zesílení operačního zesilovače nestačí pro požadovanou úroveň omezení. Potom je možné před operační zesilovač zaředit jeden zesilovací stupeň v tzv. "hledovém" zapojení /obr.57/. Tranzistor musí být nízkofrekvenční a především nízkošumový. Trimrem $100\text{ k}\Omega$ se nastaví předpětí báze tak, aby na výstupu OZ byla přesně polovina napájecího napětí. Zisk a tedy i úroveň omezení se řídí velikostí zpětnovazebního rezistoru $100\text{ k}\Omega$ /ve schématu označen hvězdičkou/. Změna zesílení OZ se projeví též jako posunutí kmitočtové charakteristiky, které lze upravit volbou kapacity C u vý-

vodu 2. Vstup musí být ošetřen proti pronikání vý signálu ze závěrem blokovacích kondenzátorů a vý tlumivky.



Obr.57. Zapojení předzesilovacího stupně pro gradientní mikrofon

Experimentování s modulečními zesilovači je zajímavé a pro mnohé poučné. Vzhledem k tomu, že v podstatě všechny zásady lze dělat zkouško, lze dát na adresu věčných "mikrofonních výměnkářů" jednu dobrou radu: Nezkoušejte nikdy různé úpravy modulače přímo v provozu na převáděči. Když už to musí být, použijte volný přímý kanál. Nejlepší ovšem je, ještě než modulační signál pustíte na varikap a posléze do éteru, ověřit si provedený záseh nahrávkou vlastního hlasu na magnetofon. Teprve až se vám váš hlas bude líbit /co do komunikační účinnosti/, můžete bez obav vysílat. /Viz naučný slovník, heslo His Masters Voice./

Na závěr kapitoly o modulečních zesilovačích ještě dvě technické připomínky. Na kmitočtovou charakteristiku celé modulační cesty, zejména na preemfázi, mají vliv i konstanty RC v obvodu

stejnosměrného předpětí variáku, proto je volíme co možno male. Především blokovací kondenzátor v obvodu předpětí by neměl mít v praxi vyšší kapacitu než 1 nF.

Druhá připomínka se týká regule maximálního zdvihu. Při komunikaci přes převáděč v mezních podmírkách, kdy je procházející signál již na prahu šumu, dochází vlivem umlčovače převáděče k "roztrhání" signálu, které se v praktickém provozu projeví "koktáním". Jak už častokrát bylo uvedeno, má spektrum úplného signálu FM svá minima a maxima, dále při daném zdvihu pro některé kmitočty nosná vlna úplně vymizí /Besselovy nuly/.

Výsledkem jsou amplitudové změny, na které reaguje umlčovač převáděče zmíněným "koktáním". V tomto případě částečně pomůže zúžení vysílaného spektra, redukce jeho maxim a minim - čili zmenšení zdvihu. U jednoduchých radiostanic bez úpravy signálu kompresorem či omezovačem /TRP, Boubín/ toho dosáhneme snadno oddálením mikrofonu od úst a rovnoměrnou tichou modulací bez výrazných hlasových akcentů. Tedy pravý opak návyku operátorů z DX KV pásem, kde se při slabém signálu doslova kříčí.

Tento způsob však není příliš účinný pro upravované modulace. V teakovém případě je třeba mít možnost snížit zdvih potenciometrem umístěným na ovládacím panelu. Stojí za povšimnutí, že většina známých profesionálních transceivrů /ICOM, YAESU, KENWOOD/ tuto možnost má. Je ovšem nutno provést základní nastavení úrovně z modulátoru tak, že maximálnímu povolenému zdvihu bude odpovídat horní doraz ovládacího potenciometru - to z důvodů dodržení povolovacích podmínek.

Regulace zdvihu při komunikaci v mezních podmírkách a práci přes vzdálený převáděč umožní tak dokončit řadu spojení na úrovni šumu.

ZÁVĚREM

V první části Obvodové techniky kmitočtové modulace byly probrány prvky generátorů kmitočtů a modulační obvody.

Další část této práce bude opět součástí edice PZAR a bude pojednávat o přijímacích traktech zařízení pro FM. Způsob spracování bude stejný a umožní technikům Svařaru zvládnout postupně problematiku zařízení pro FM.

Autor touto cestou děkuje spolupracovníkům z technické komise RR ČÚV Svařaru za pomoc při určení skladby práce a pracovníkům edičního odboru ÚV Svařaru ČSSR za pečlivé technické spracování publikace.

SEZNAM LITERATURY

- [1] Schwarzbeck G.: IC202S, IC402 - Testbericht DLlBU, CQ-DL
3/1979
- [2] Novák P.: Převáděčové minitransceivry, RZ 5, 6, 7-8/1980
- [3] Kryška L.: Jednotka VKV třídy Hi-Fi s velkou převeditelností, AR 7/1974
- [4] Liess W.: Ein 135 MHz VFO, Funkamateuer 5, 6/1980
- [5] Daneš J. a kol.: Amatérská radiotechnika a elektronika II,
kapitola Základní poznatky o kmitočtové modulaci,
Naše vojsko 1987

ÚČELOVÁ EDICE ÚV SVAZARNU

Řídí Nina Erbenová

Knižnice zájmové, braně technické a sportovní činnosti

PŘEDNÁŠKY Z AMATÉRSKÉ RADIOTECHNIKY

OBVODOVÁ TECHNIKA KMITOČTOVÉ MODULACE I.

Vydal ústřední výbor Svazu pro spolupráci s armádou v Praze roku 1987 jako svoji 2831. publikaci, 116 stran, 57 obrázků.
prostřednictvím periodiku ČS ČSTV Sportpropag

Napsal Petr Novák

Obrázky nakreslil ing. Jiří Štěpán

Návrh obálky František Prouza

Odpovědná redaktorka PhDr. Lenka Lukevská

Grafické úpravy Miloslav Torn

Technický redaktor Jindřich Běhal

Náklad 5 000 výtisků. Publikace je vydána pro vnitřní potřebu Svazarmu a rozšířuje se bezplatně.

Vytiskla Modela, podnik ÚV Svazarmu, závod 18, Hronov